

実効再生産数の推定

- ・ 分析対象地域 = > HERSYS データによる分析
(一部自治体が完全移行下で突然にプレスリリース情報の中止がある、あるいは、近日の報告の遅れを避けるため)
- ・ 赤色バーは HERSYS データに基づく推定感染時刻。推定日データの最新観察日から起算して、報告の遅れがほぼ影響しない 14 日前までの推定を実施。

リアルタイム予測

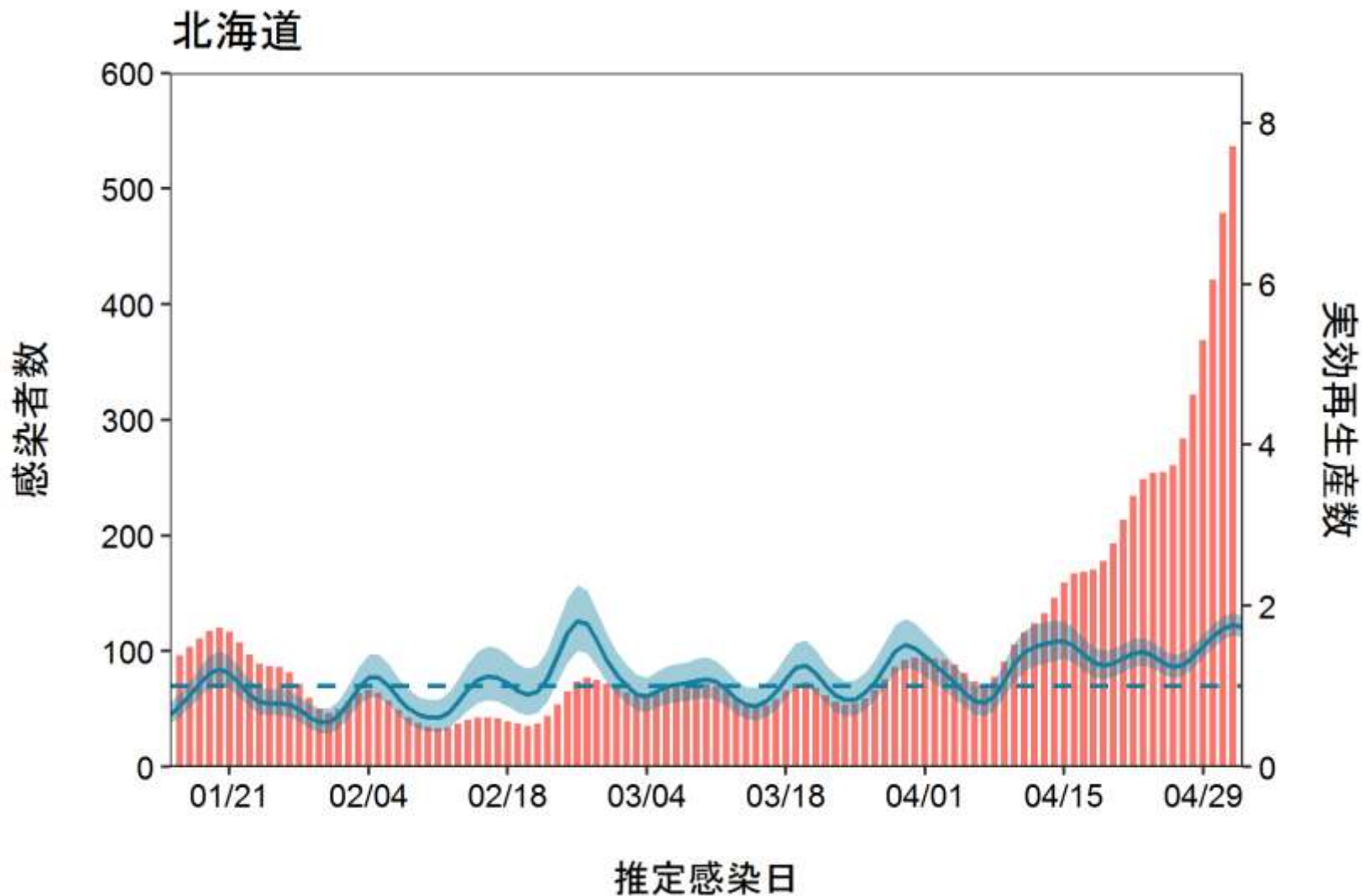
- ・ 約 2 週間を要する感染から報告までの遅れを実効再生産数の時系列データで補間してナウキャストイングを試みたもの
- ・ Rt の時系列データは時系列情報に依存。極端な行動の変化などに対応していない。Rt の時系列パターンに依存しており、変異株による置き換え・急増などを加味したリアルタイム予測ではない。
- ・ 変異株流行下での、まん延防止等重点措置や緊急事態宣言に係る措置の効果は不確実性が高く予測困難のため、加味していない

推定日 5月18日

最新推定感染日付 5月3日

直近推定値 1.74 (1.61, 1.88)

直近1週平均 1.57

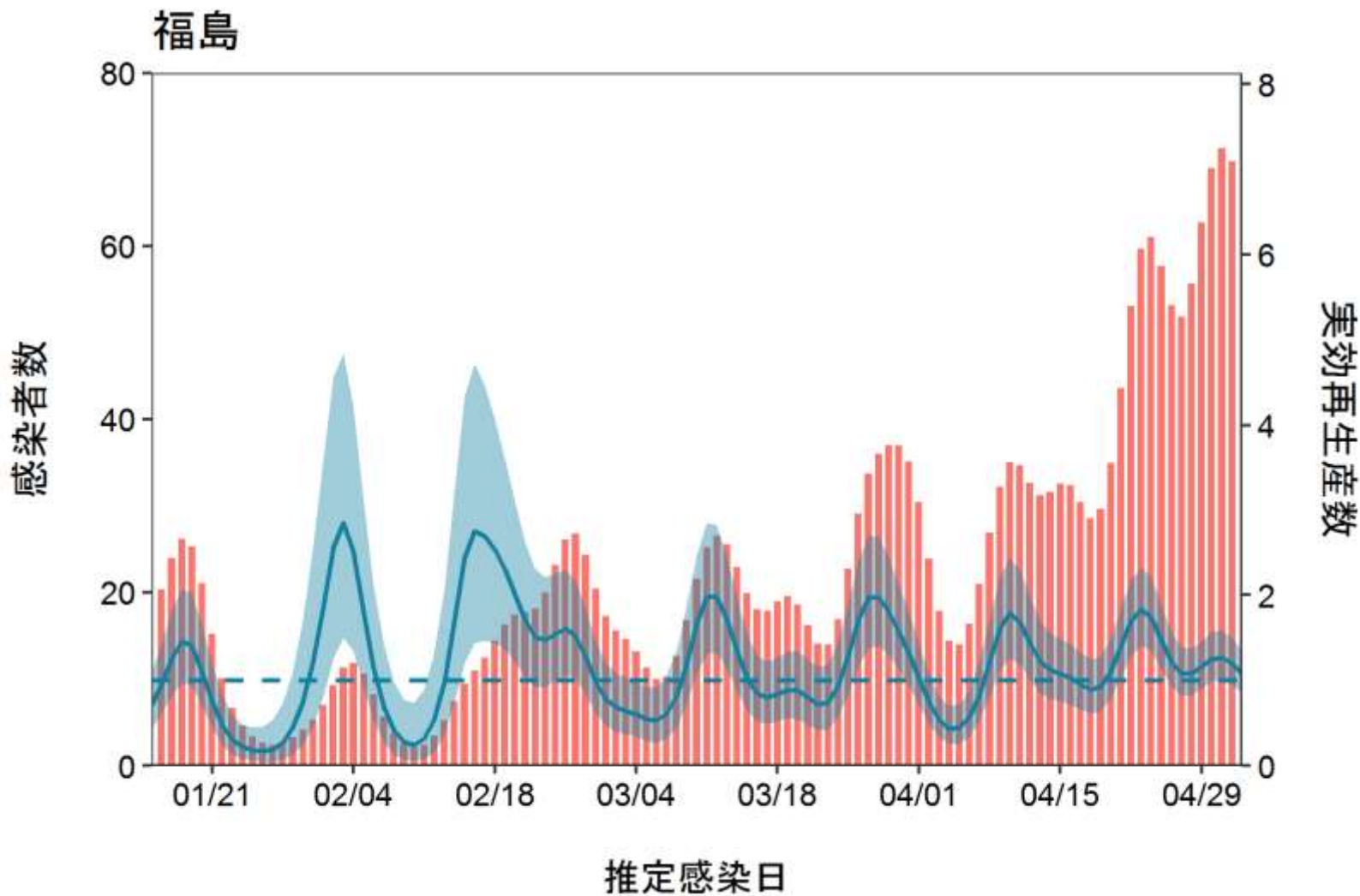


推定日 5月18日

最新推定感染日付 5月3日

直近推定値 1.08 (0.85, 1.36)

直近1週平均 1.16

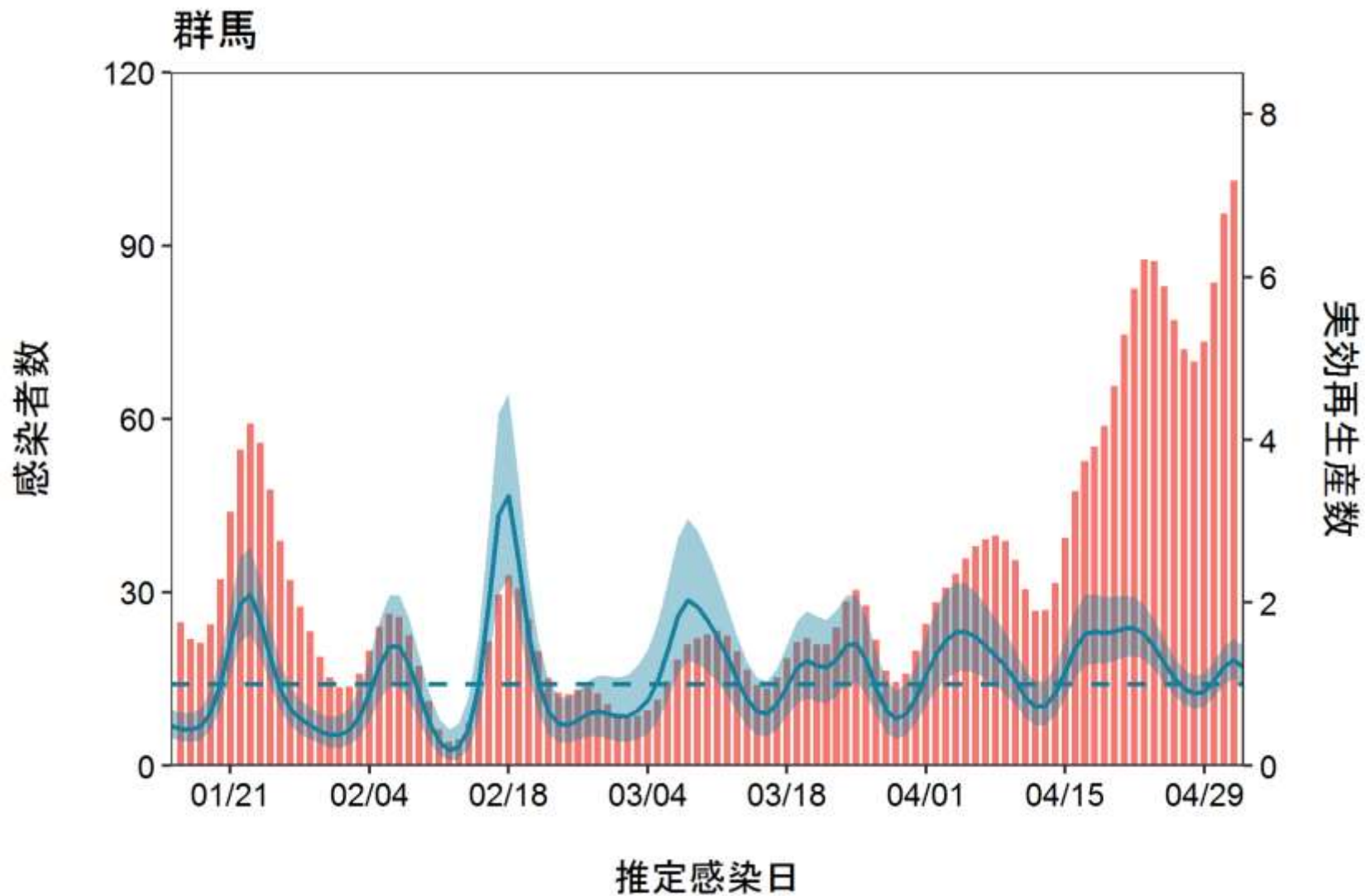


推定日 5月18日

最新推定感染日付 5月3日

直近推定値 1.20 (0.98, 1.46)

直近1週平均 1.07



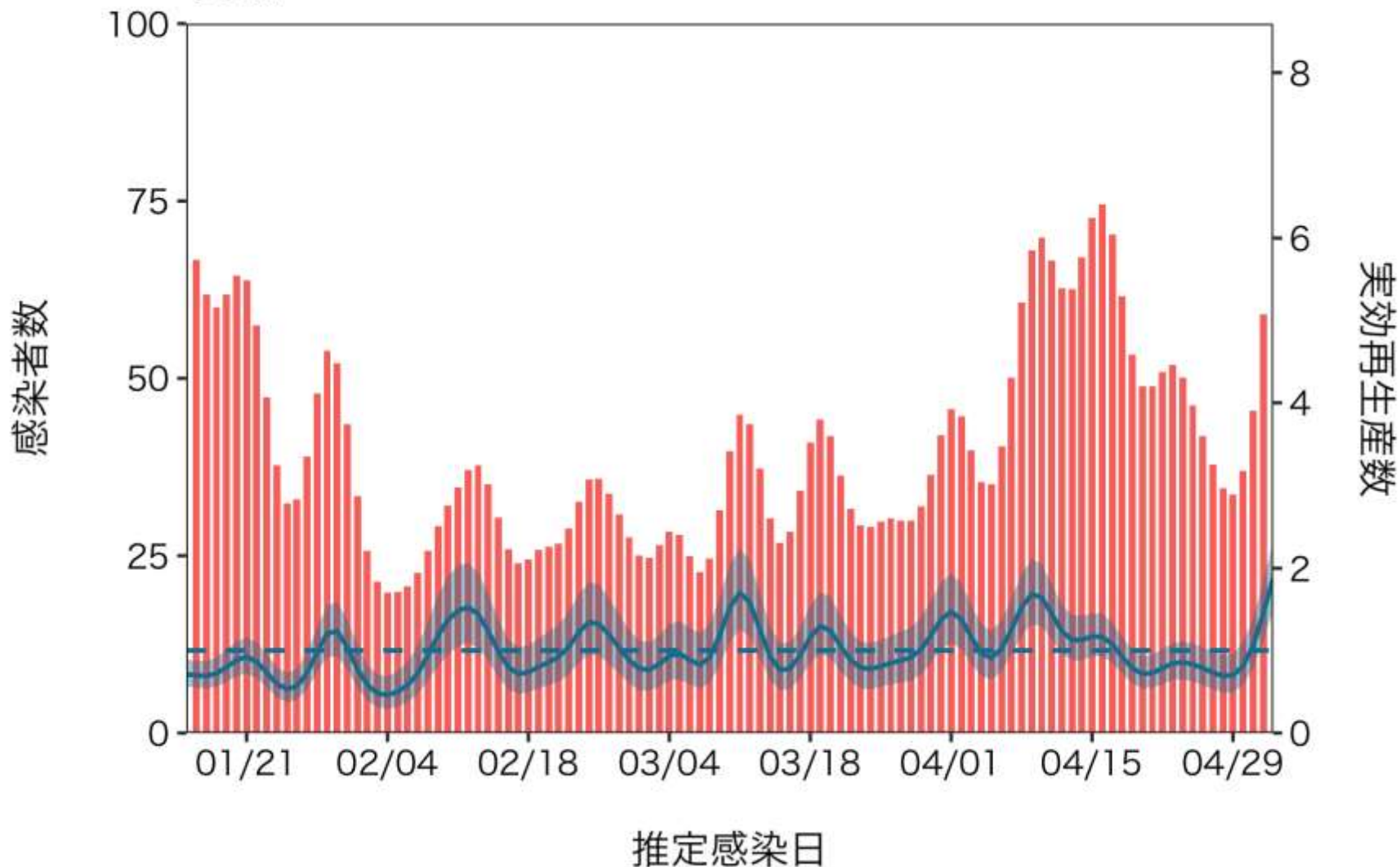
推定日 5月18日

最新推定感染日付 5月3日

直近推定値 1.88 (1.49, 2.33)

直近1週平均 1.05

茨城

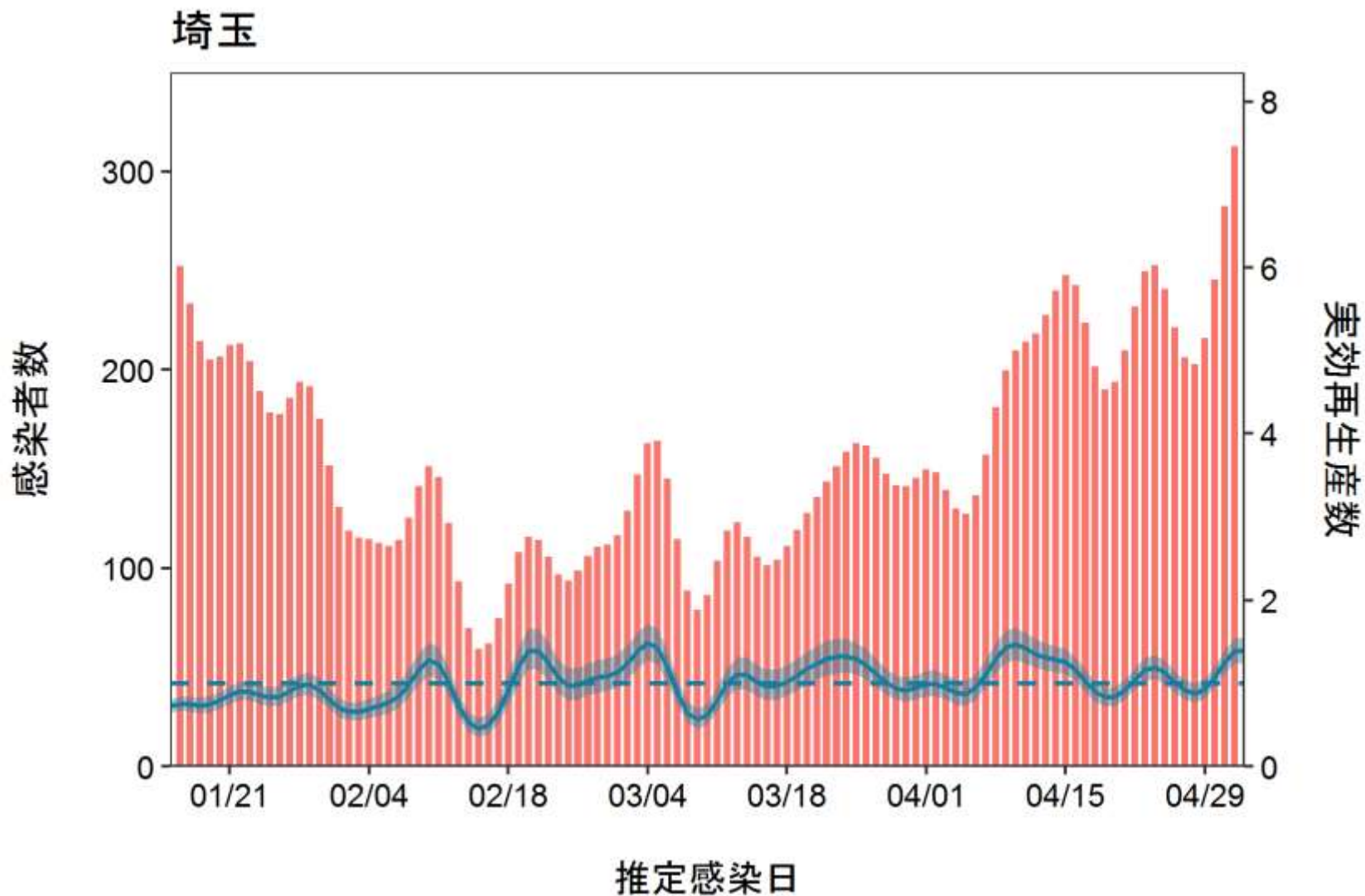


推定日 5月18日

最新推定感染日付 5月3日

直近推定値 1.74 (1.61, 1.88)

直近1週平均 1.57



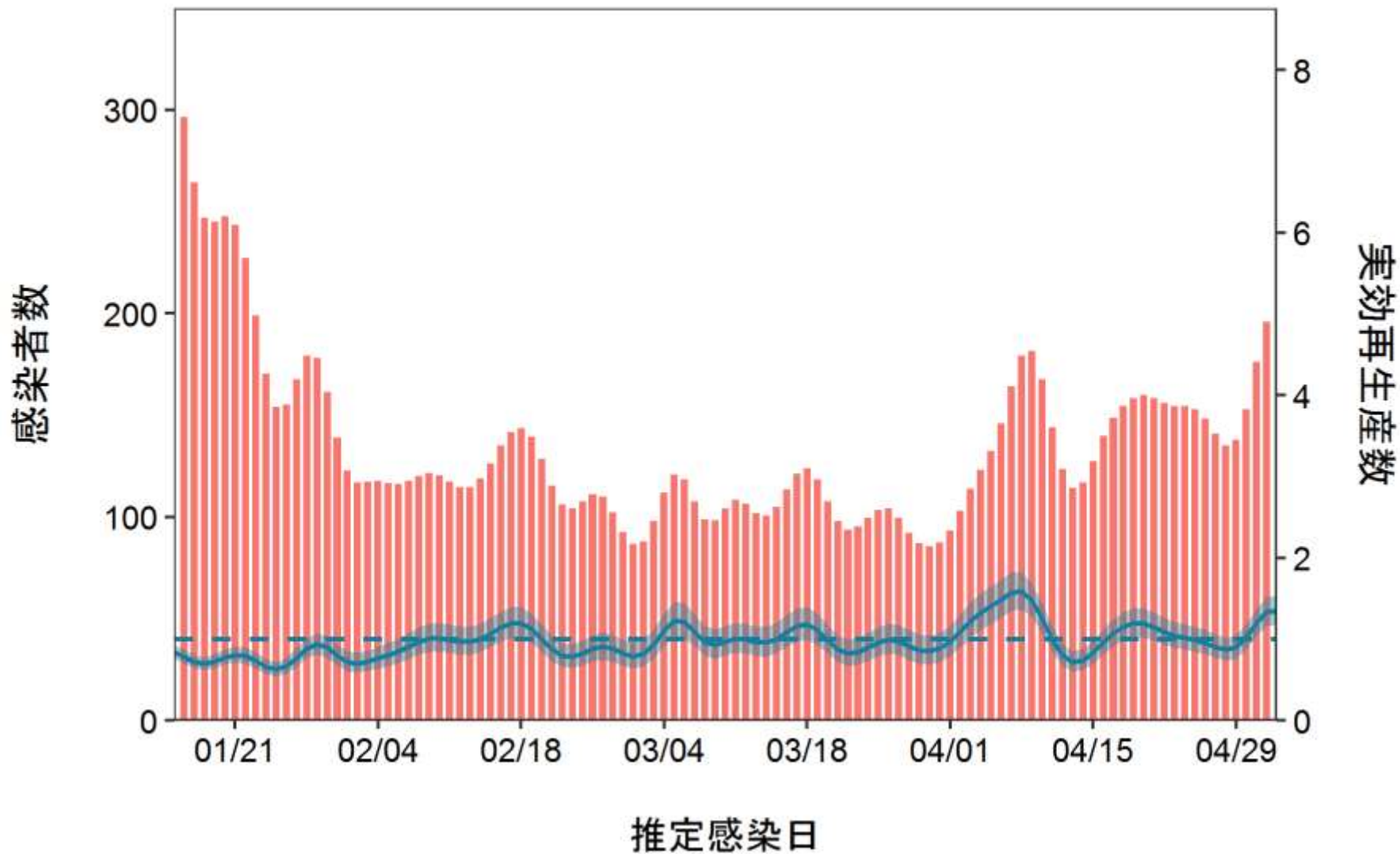
推定日 5月18日

最新推定感染日付 5月3日

直近推定値 1.34 (1.17, 1.53)

直近1週平均 1.08

千葉

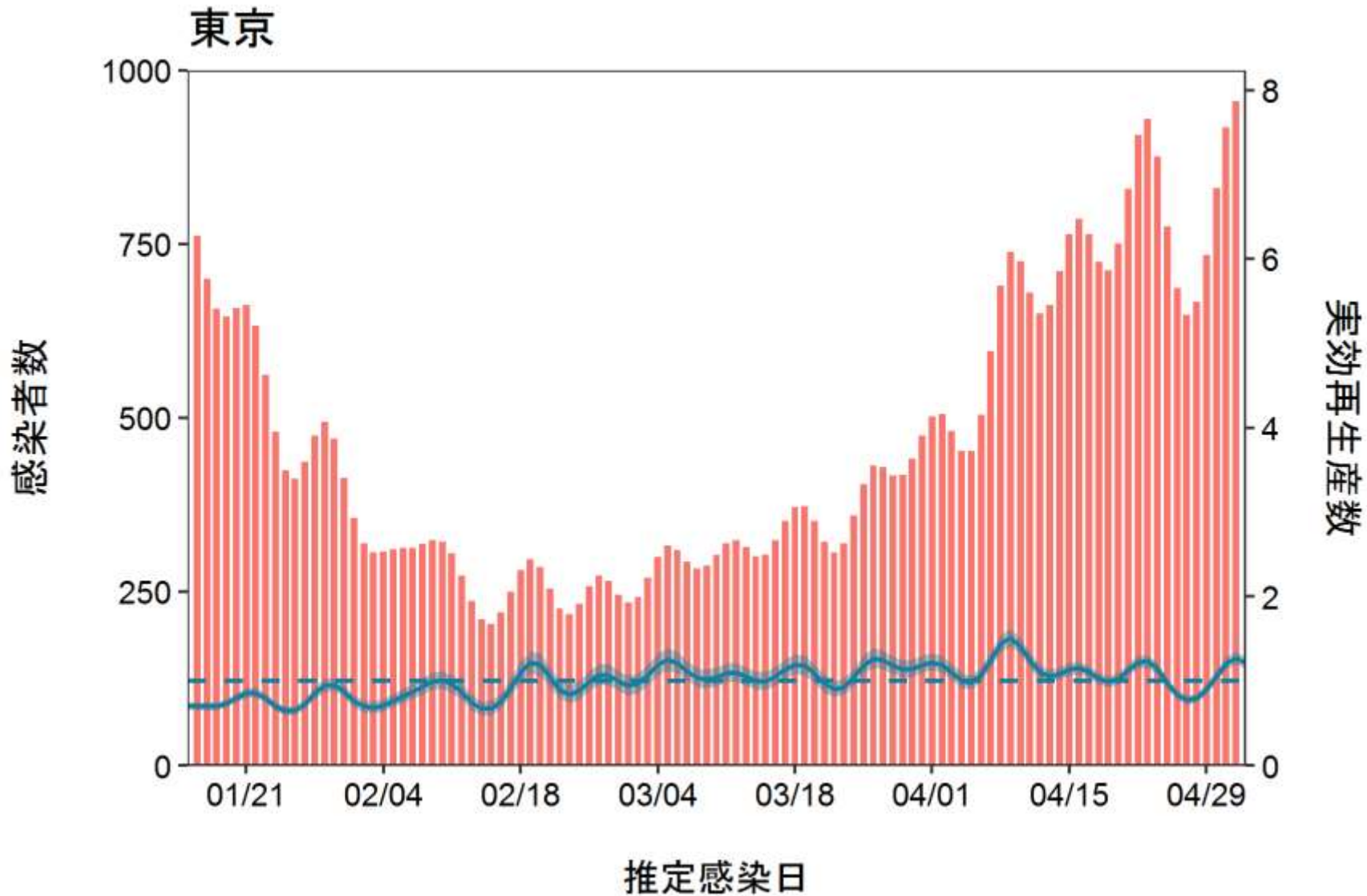


推定日 5月18日

最新推定感染日付 5月3日

直近推定値 1.21 (1.14, 1.29)

直近1週平均 1.03

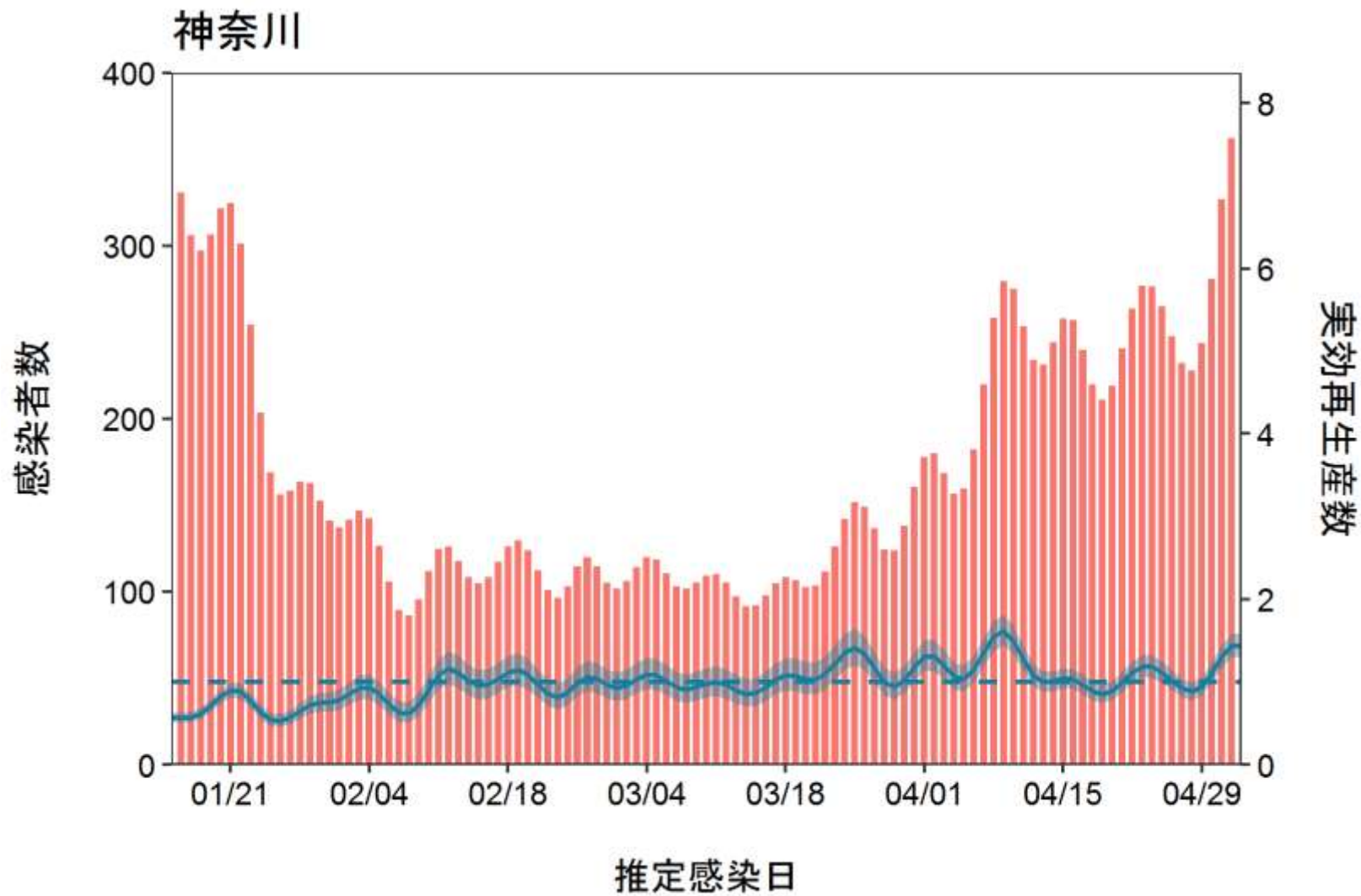


推定日 5月18日

最新推定感染日付 5月3日

直近推定値 1.44 (1.30, 1.58)

直近1週平均 1.14

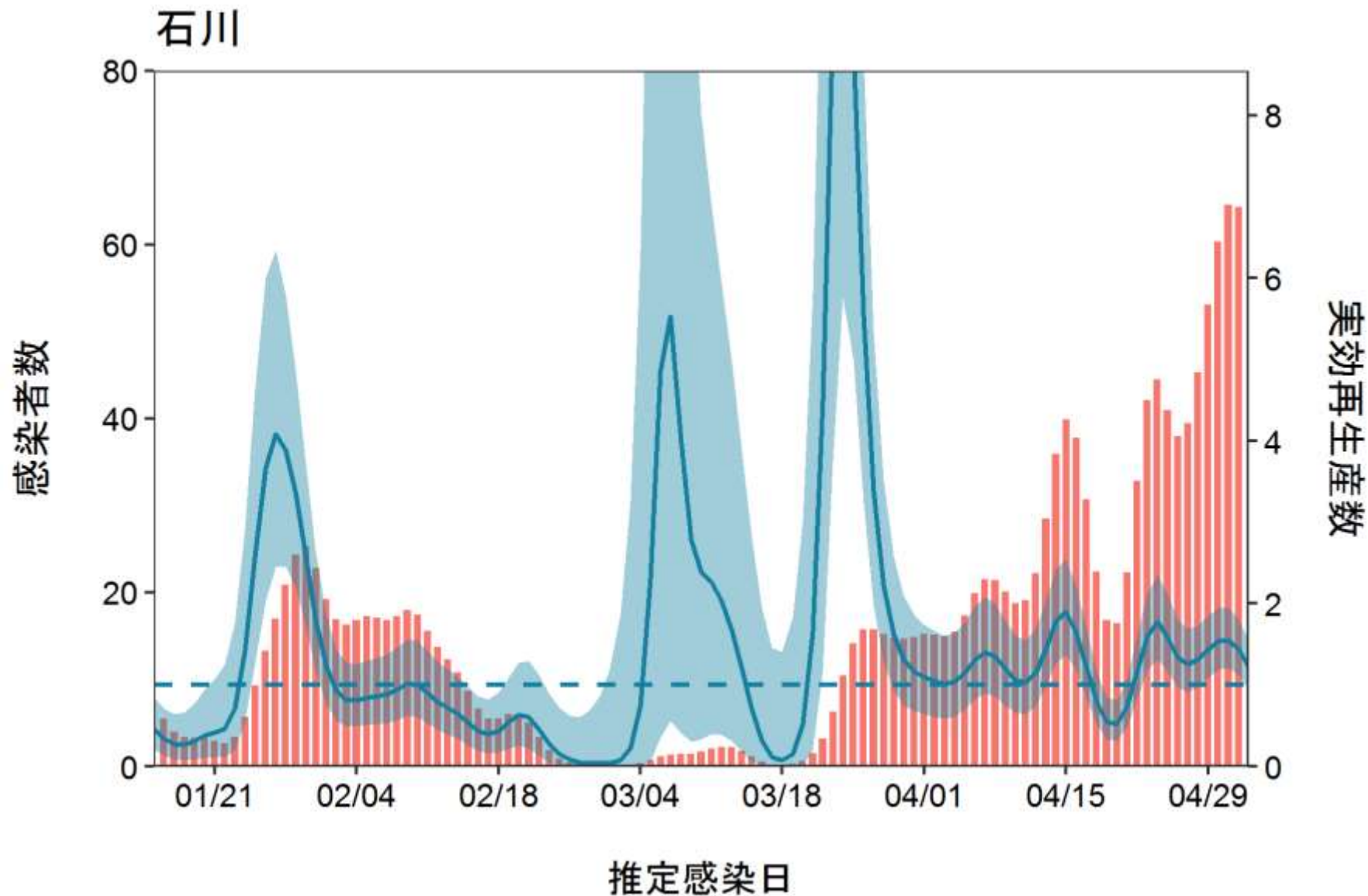


推定日 5月18日

最新推定感染日付 5月3日

直近推定値 1.23 (0.95, 1.56)

直近1週平均 1.40

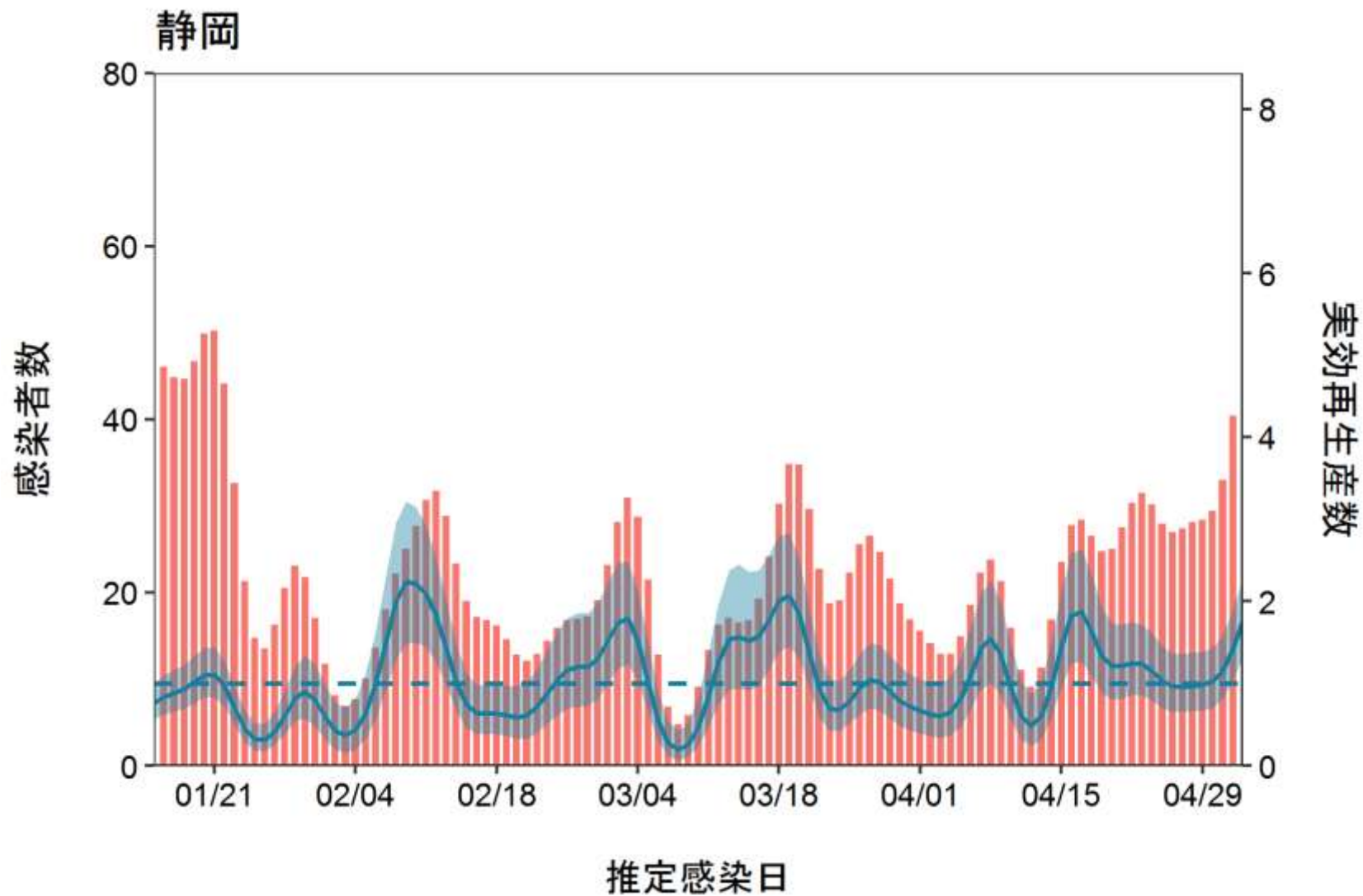


推定日 5月18日

最新推定感染日付 5月3日

直近推定値 1.76 (1.32, 2.28)

直近1週平均 1.18

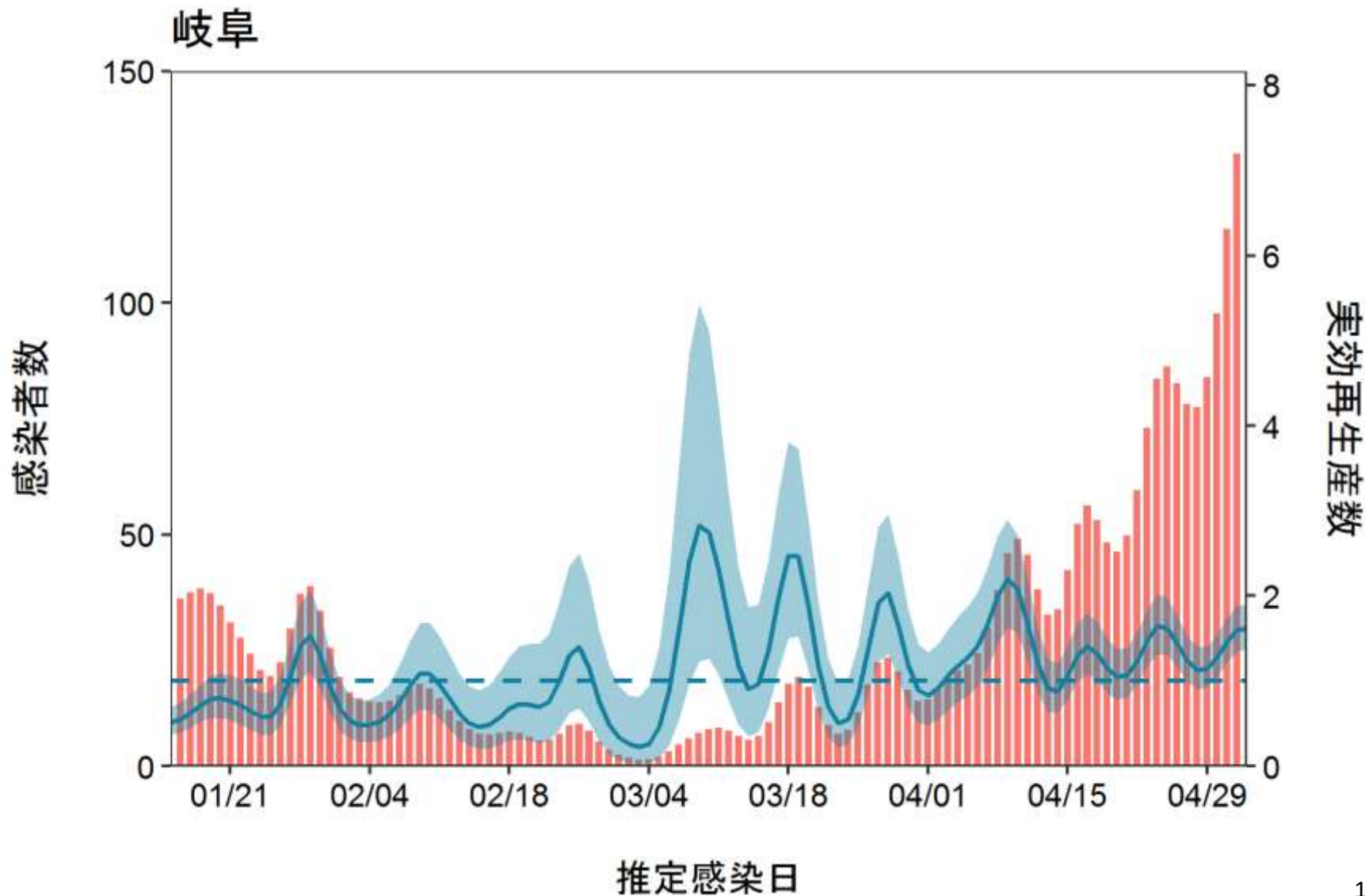


推定日 5月18日

最新推定感染日付 5月3日

直近推定値 1.62 (1.37, 1.89)

直近1週平均 1.35



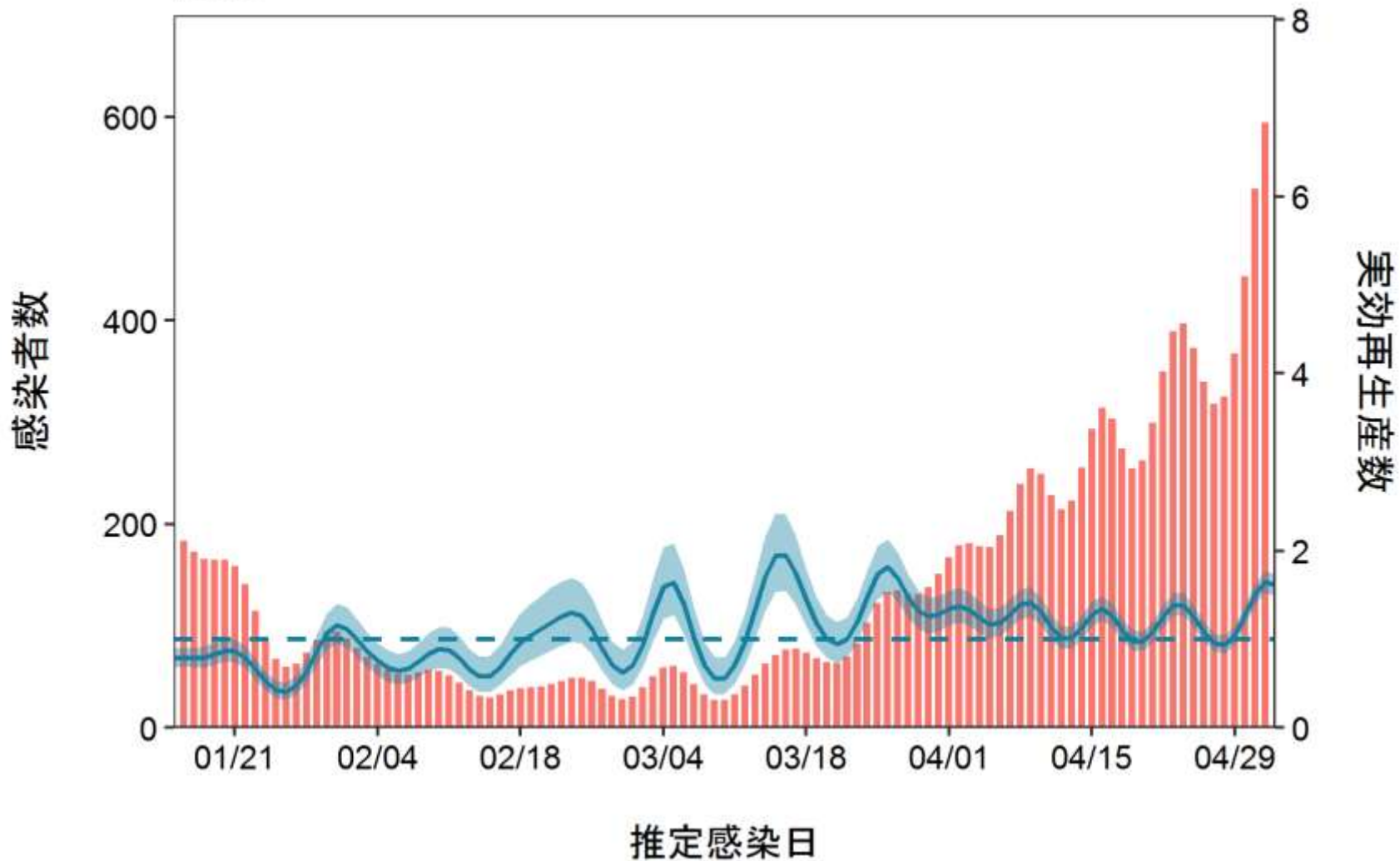
推定日 5月18日

最新推定感染日付 5月3日

直近推定値 1.61 (1.49, 1.74)

直近1週平均 1.28

愛知

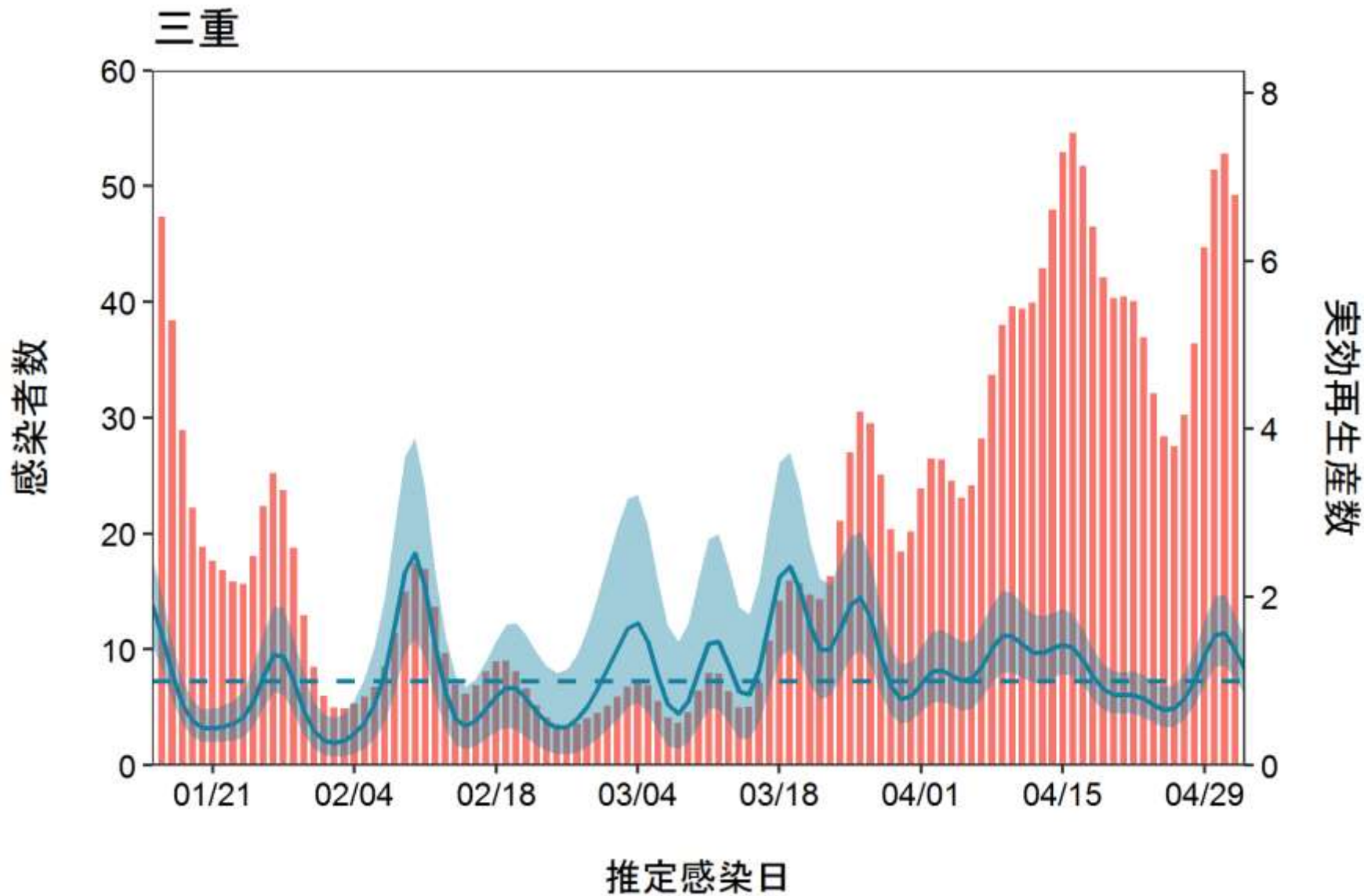


推定日 5月18日

最新推定感染日付 5月3日

直近推定値 1.14 (0.84, 1.50)

直近1週平均 1.25

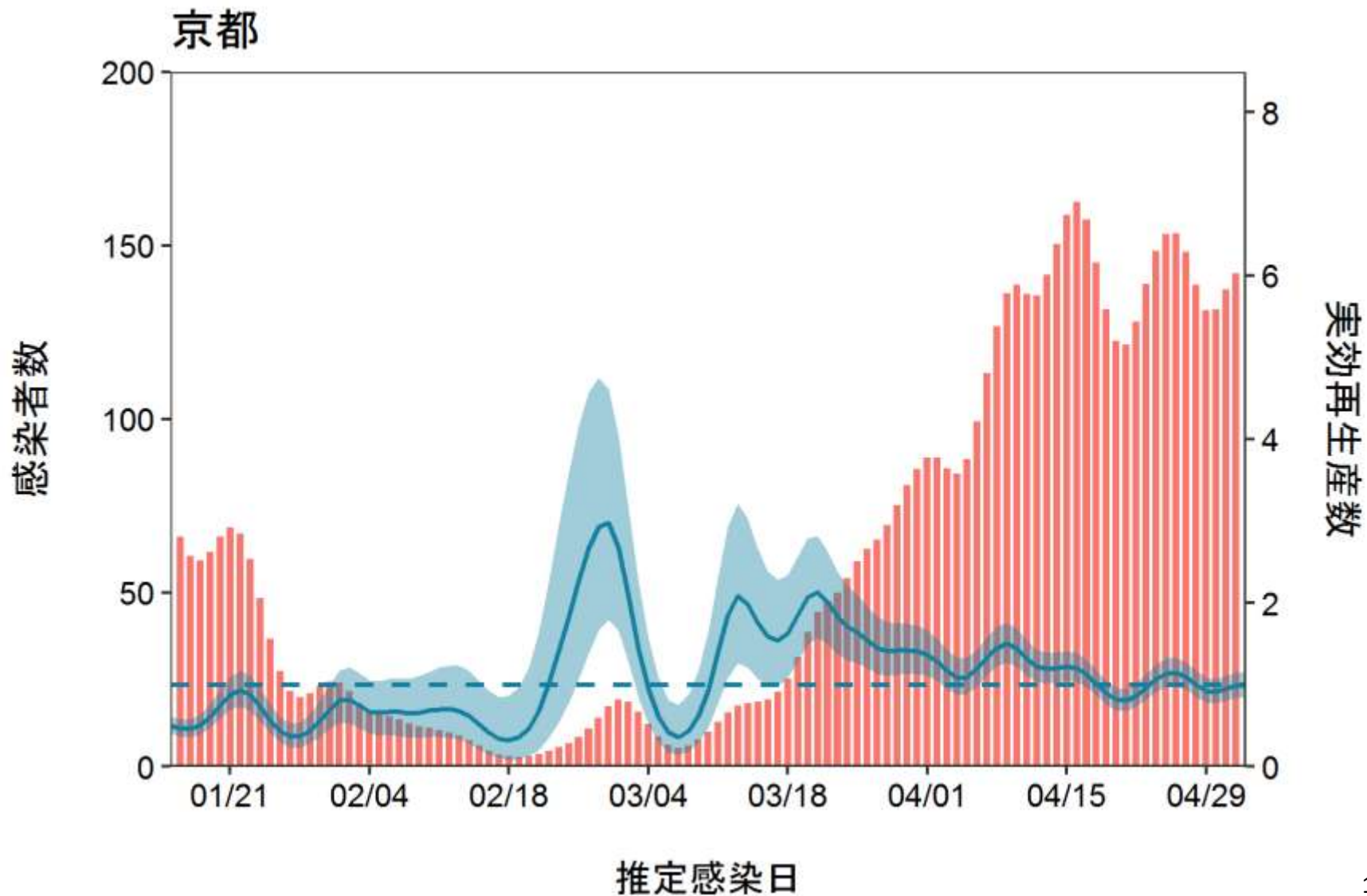


推定日 5月18日

最新推定感染日付 5月3日

直近推定値 0.99 (0.84, 1.16)

直近1週平均 0.98

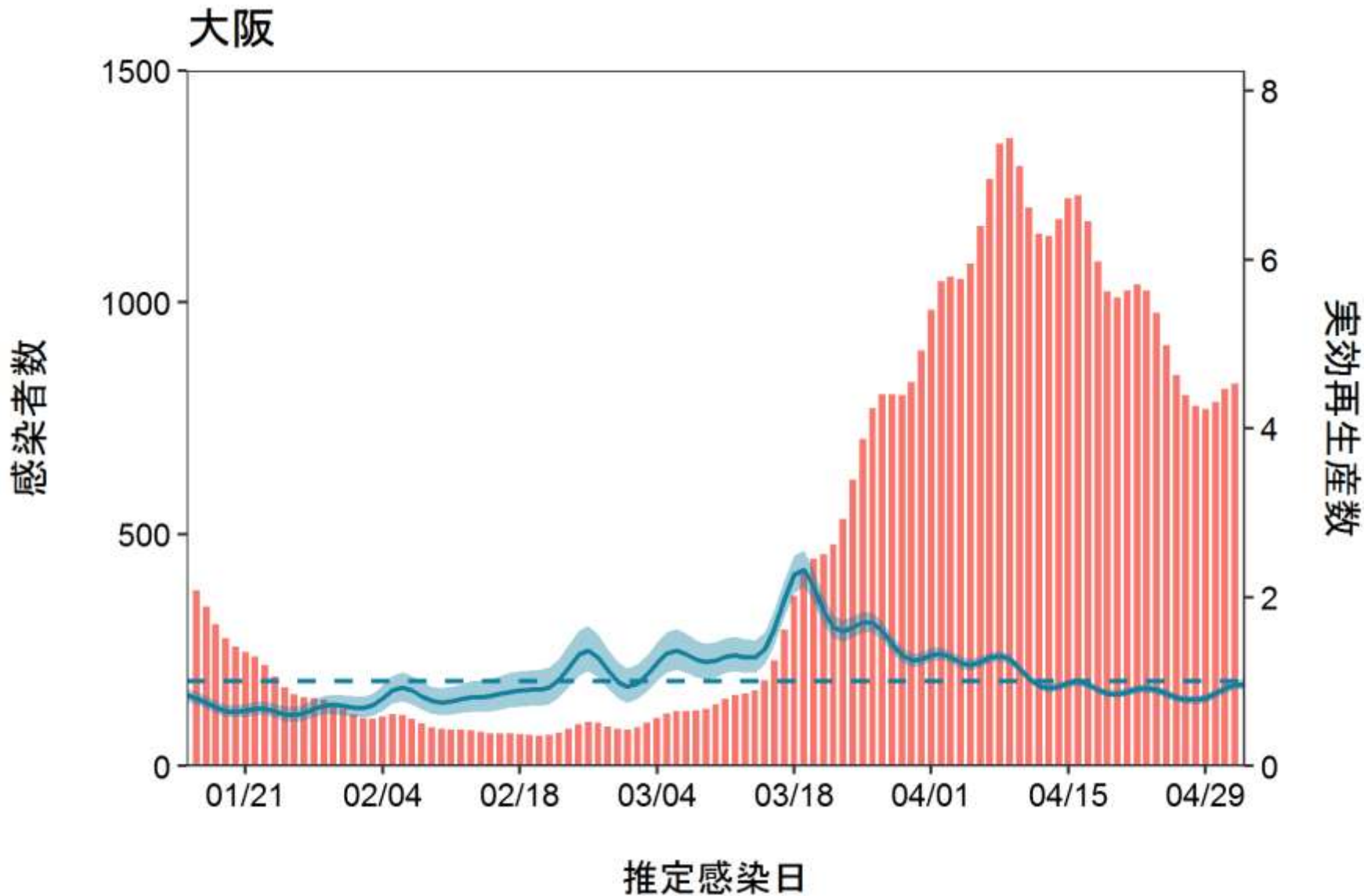


推定日 5月18日

最新推定感染日付 5月3日

直近推定値 0.96 (0.90, 1.02)

直近1週平均 0.87

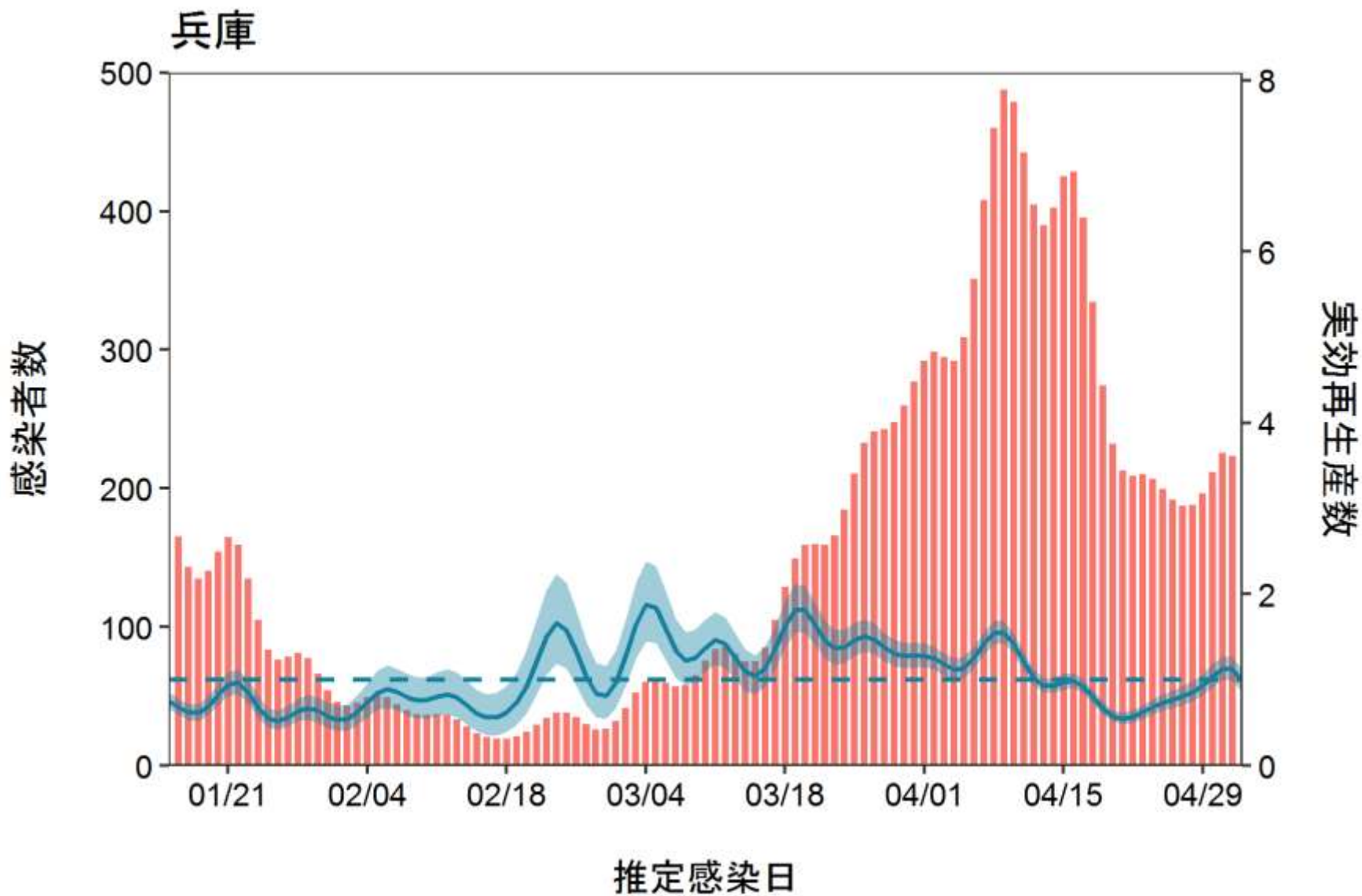


推定日 5月18日

最新推定感染日付 5月3日

直近推定値 0.99 (0.86, 1.13)

直近1週平均 0.99

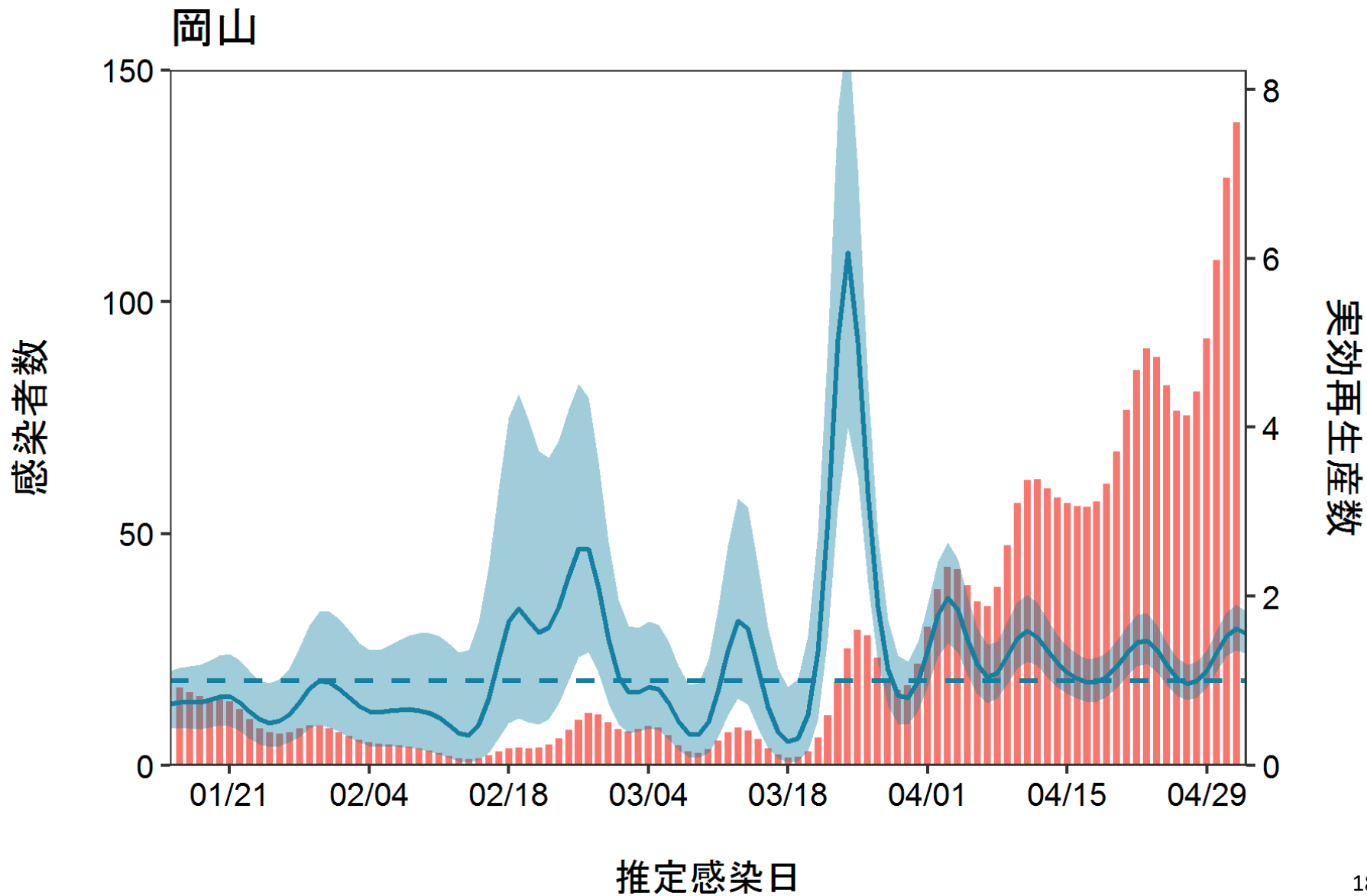


推定日 5月18日

最新推定感染日付 5月3日

直近推定値 1.55 (1.32, 1.82)

直近1週平均 1.30



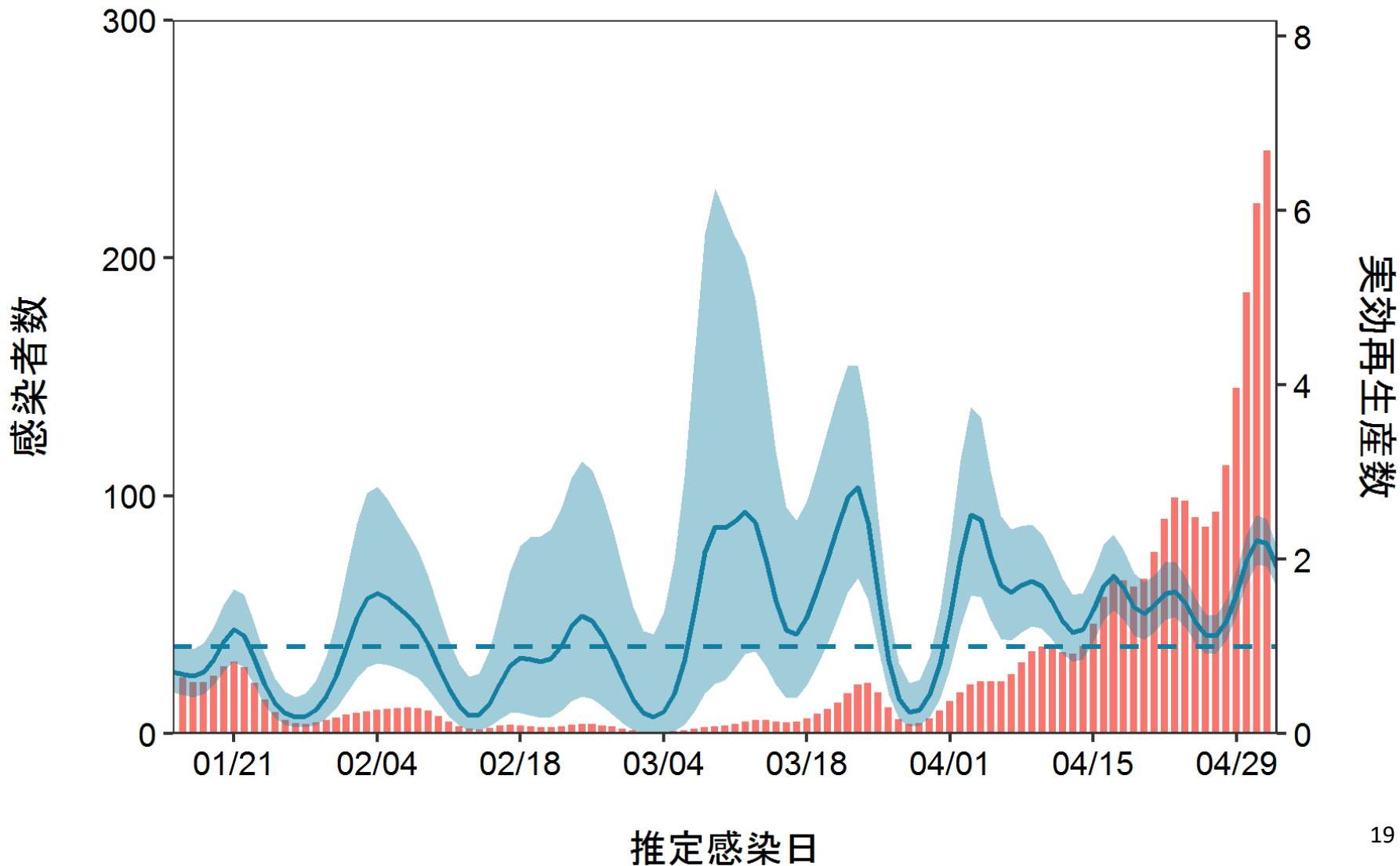
推定日 5月18日

最新推定感染日付 5月3日

直近推定値 1.90 (1.68, 2.14)

直近1週平均 1.76

広島

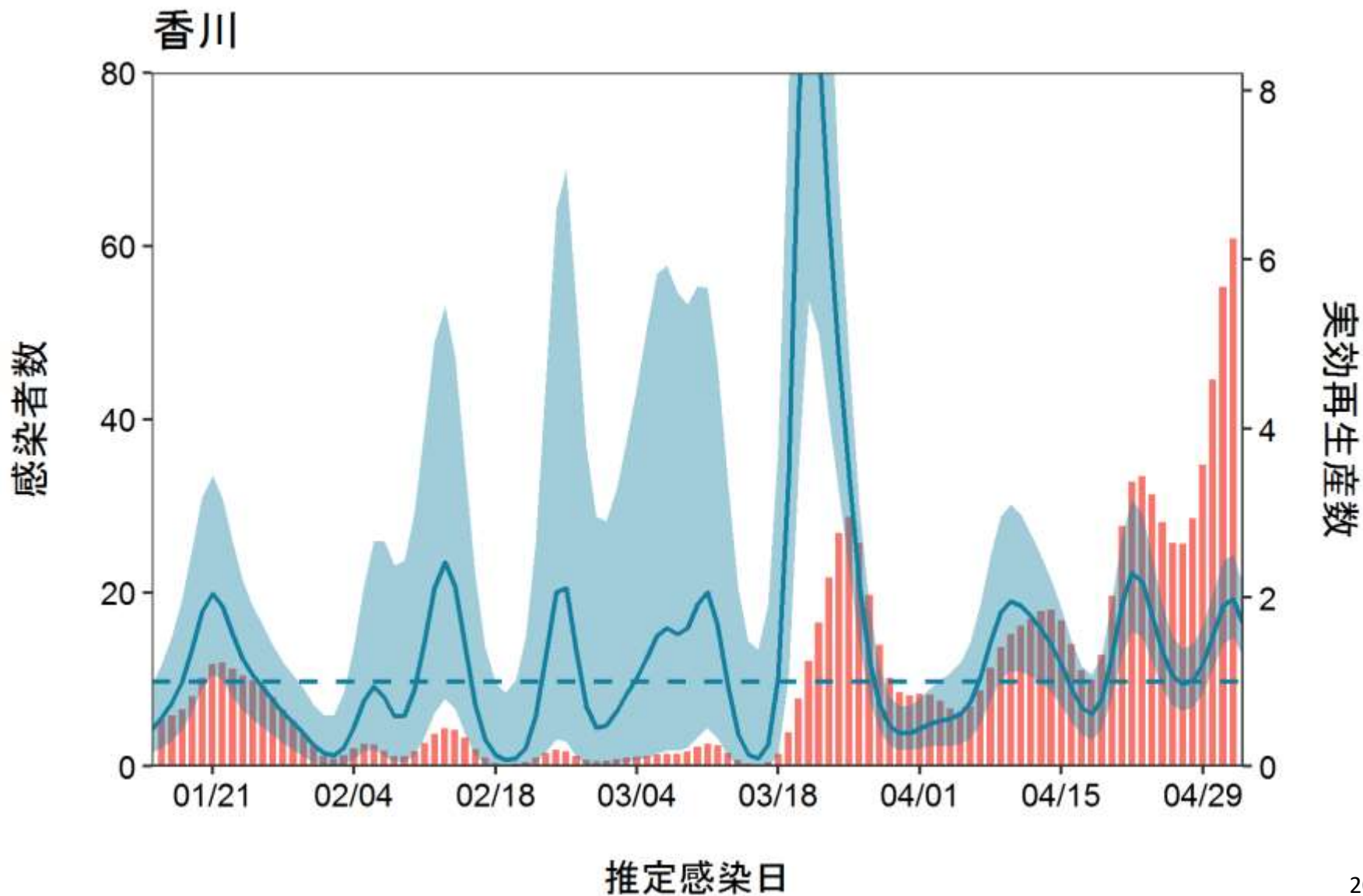


推定日 5月18日

最新推定感染日付 5月3日

直近推定値 1.69 (1.30, 2.16)

直近1週平均 1.48

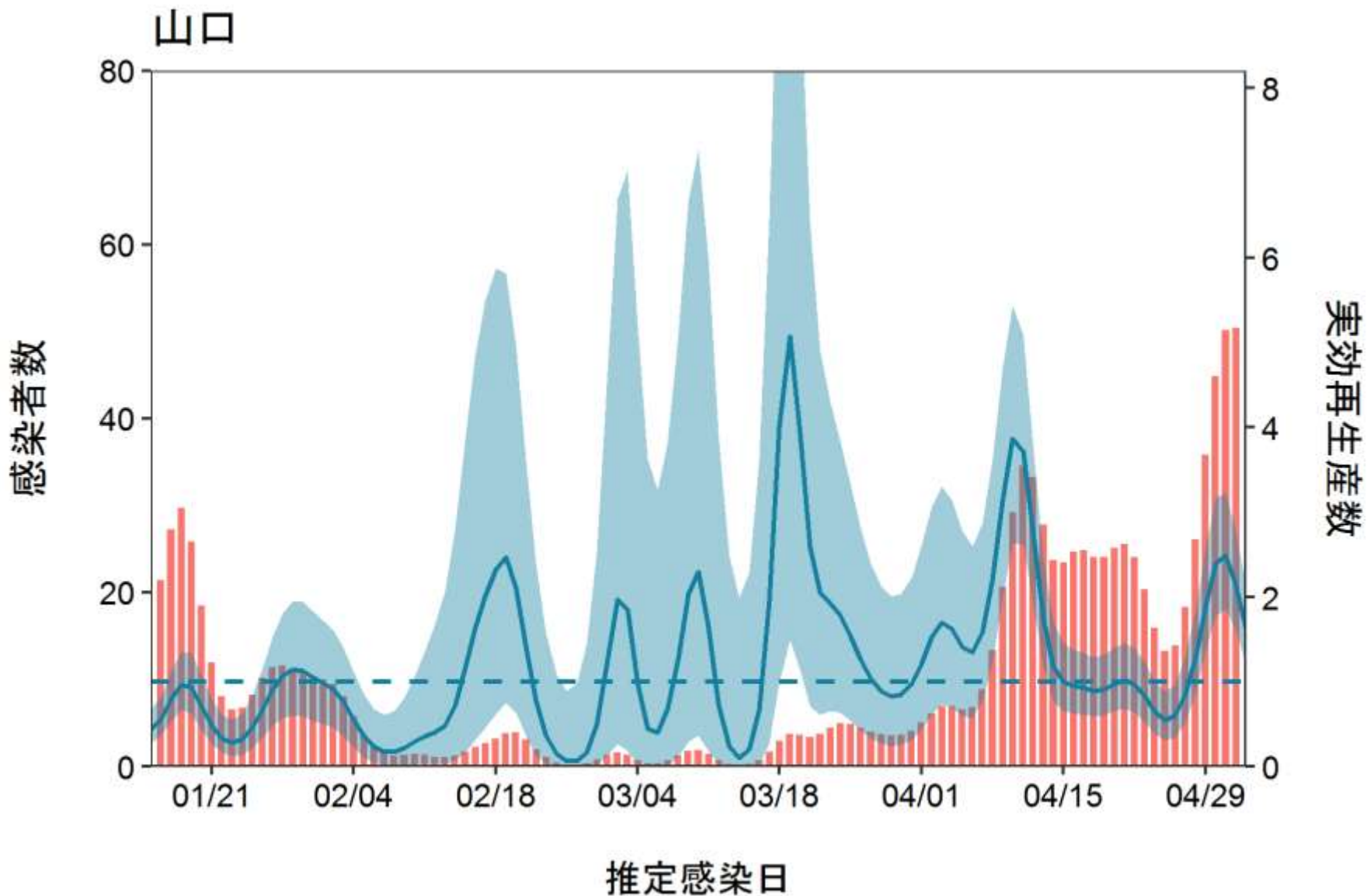


推定日 5月18日

最新推定感染日付 5月3日

直近推定値 1.64 (1.22, 2.15)

直近1週平均 1.81

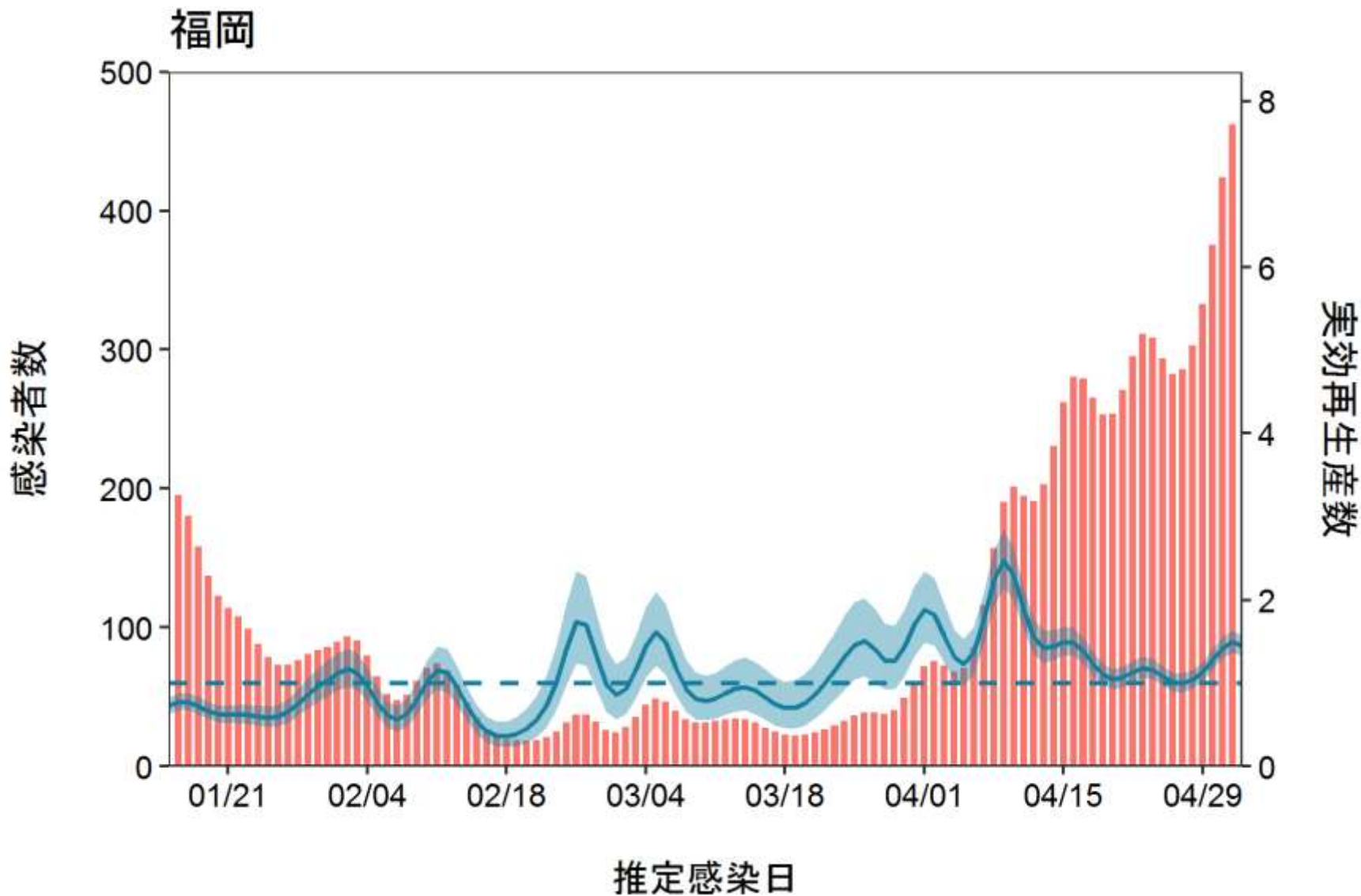


推定日 5月18日

最新推定感染日付 5月3日

直近推定値 1.45 (1.33, 1.58)

直近1週平均 1.35



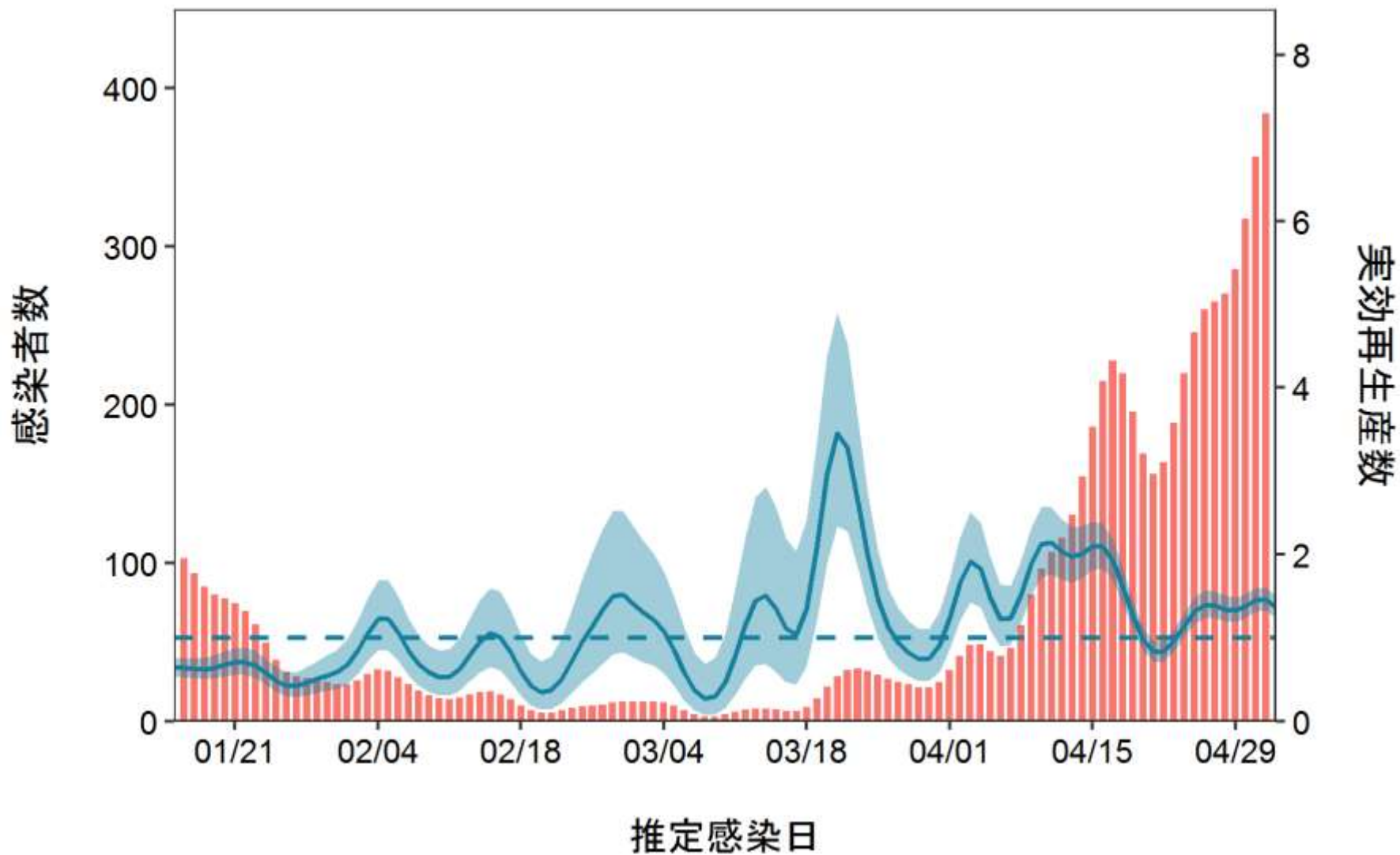
推定日 5月18日

最新推定感染日付 5月3日

直近推定値 1.37 (1.24, 1.51)

直近1週平均 1.35

九州 (福岡除く)

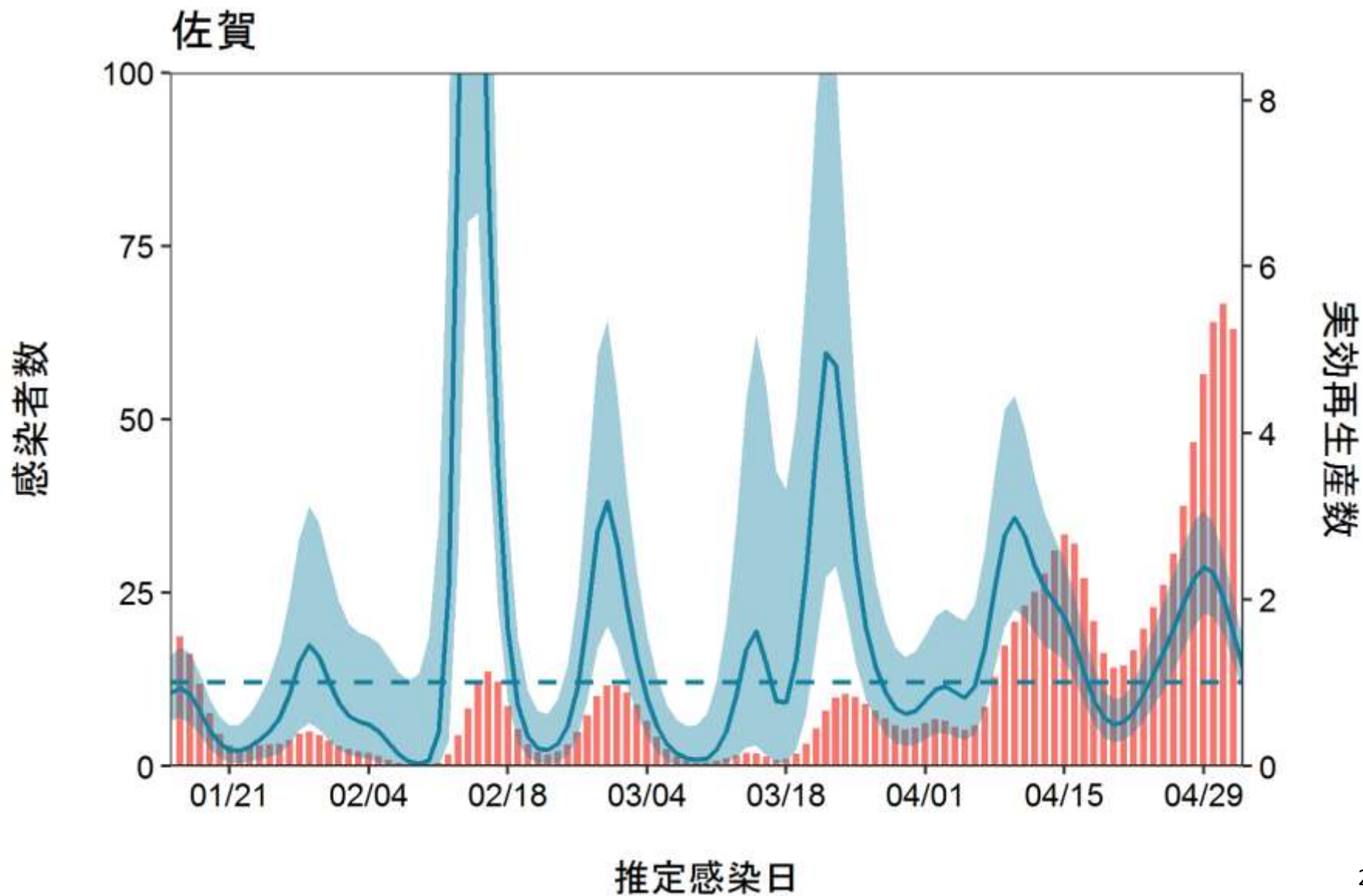


推定日 5月18日

最新推定感染日付 5月3日

直近推定値 1.18 (0.90, 1.52)

直近1週平均 1.35



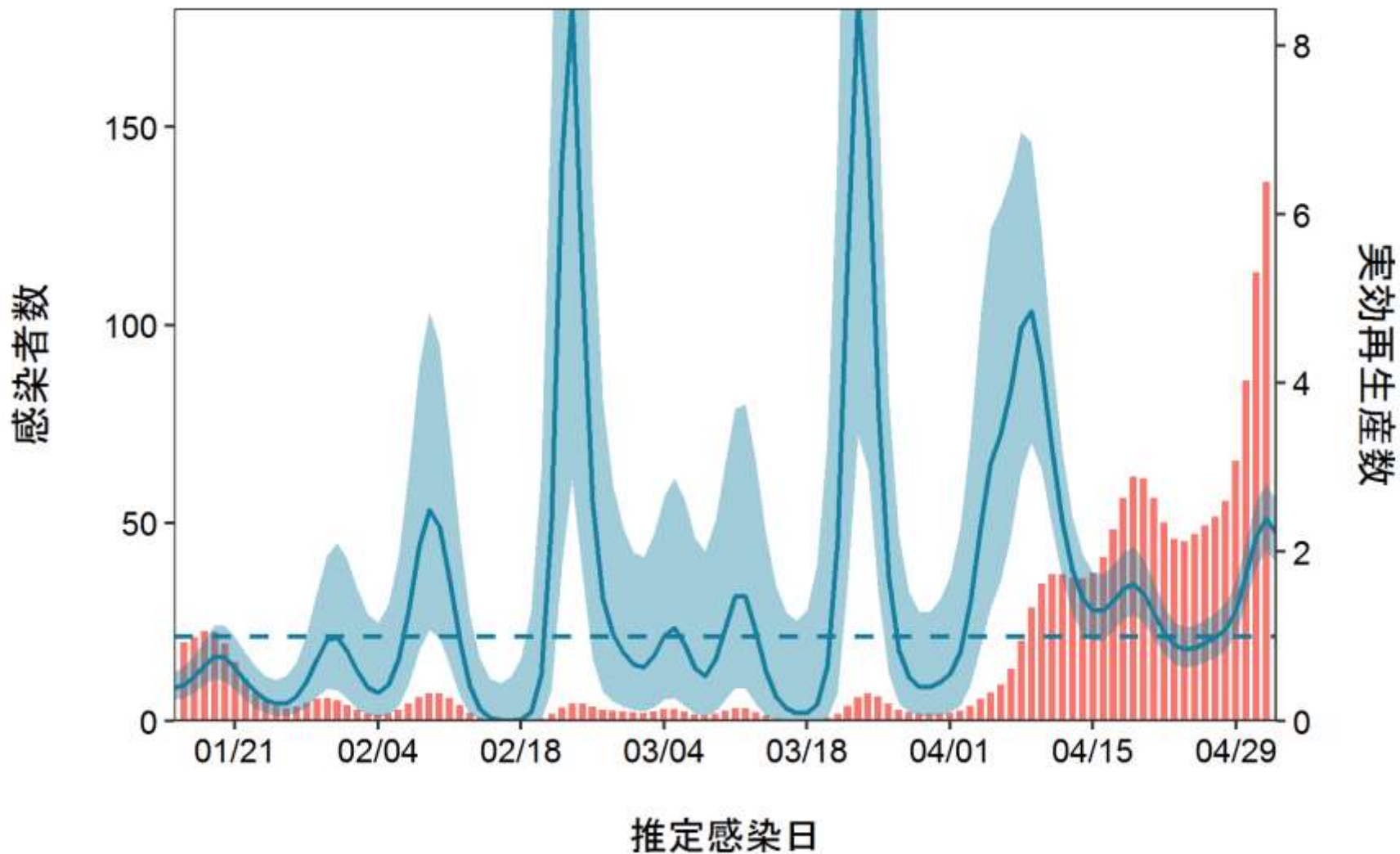
推定日 5月18日

最新推定感染日付 5月3日

直近推定値 2.22 (1.88, 2.60)

直近1週平均 1.35

熊本

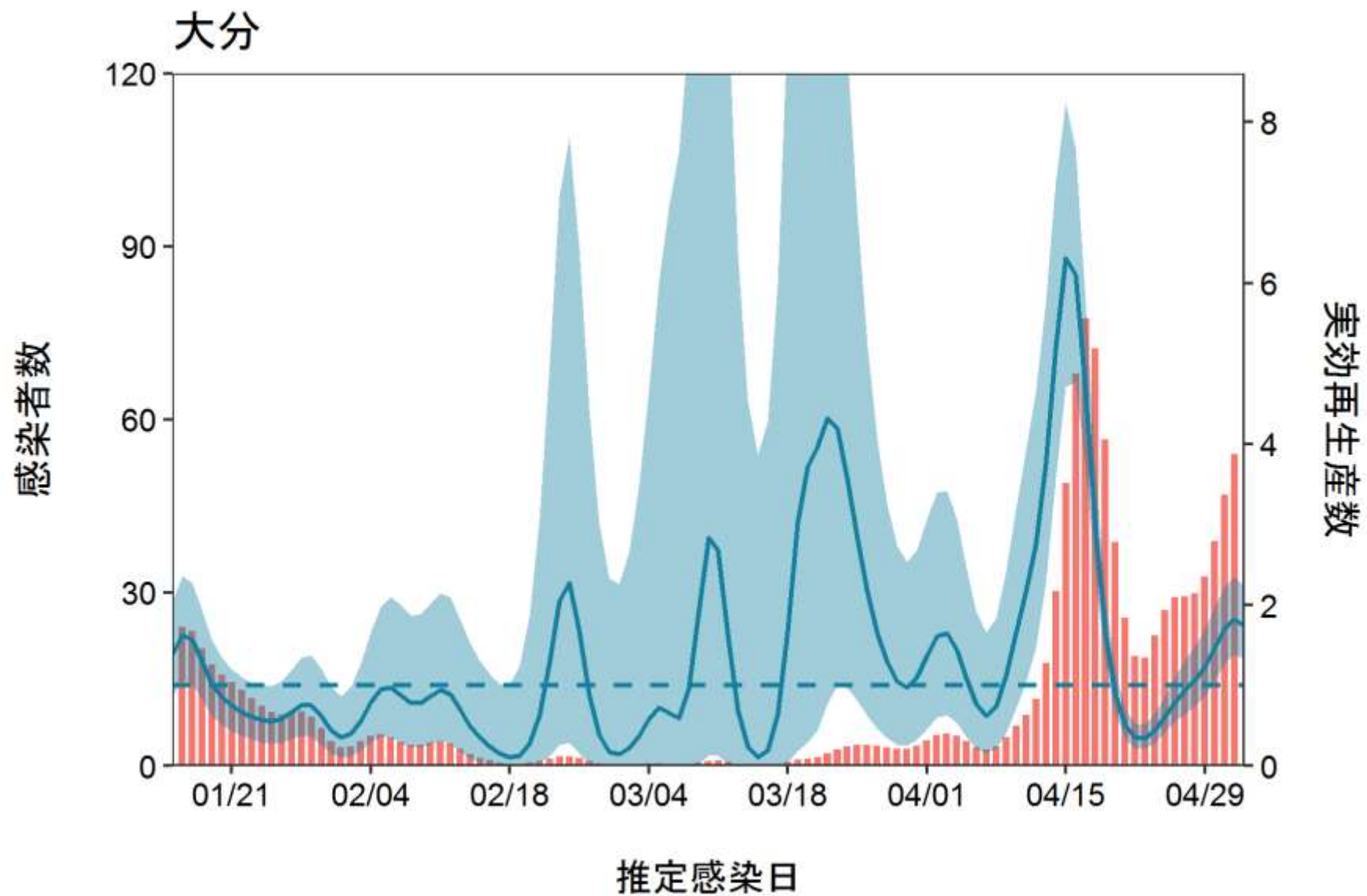


推定日 5月18日

最新推定感染日付 5月3日

直近推定値 1.74 (1.33, 2.24)

直近1週平均 1.35



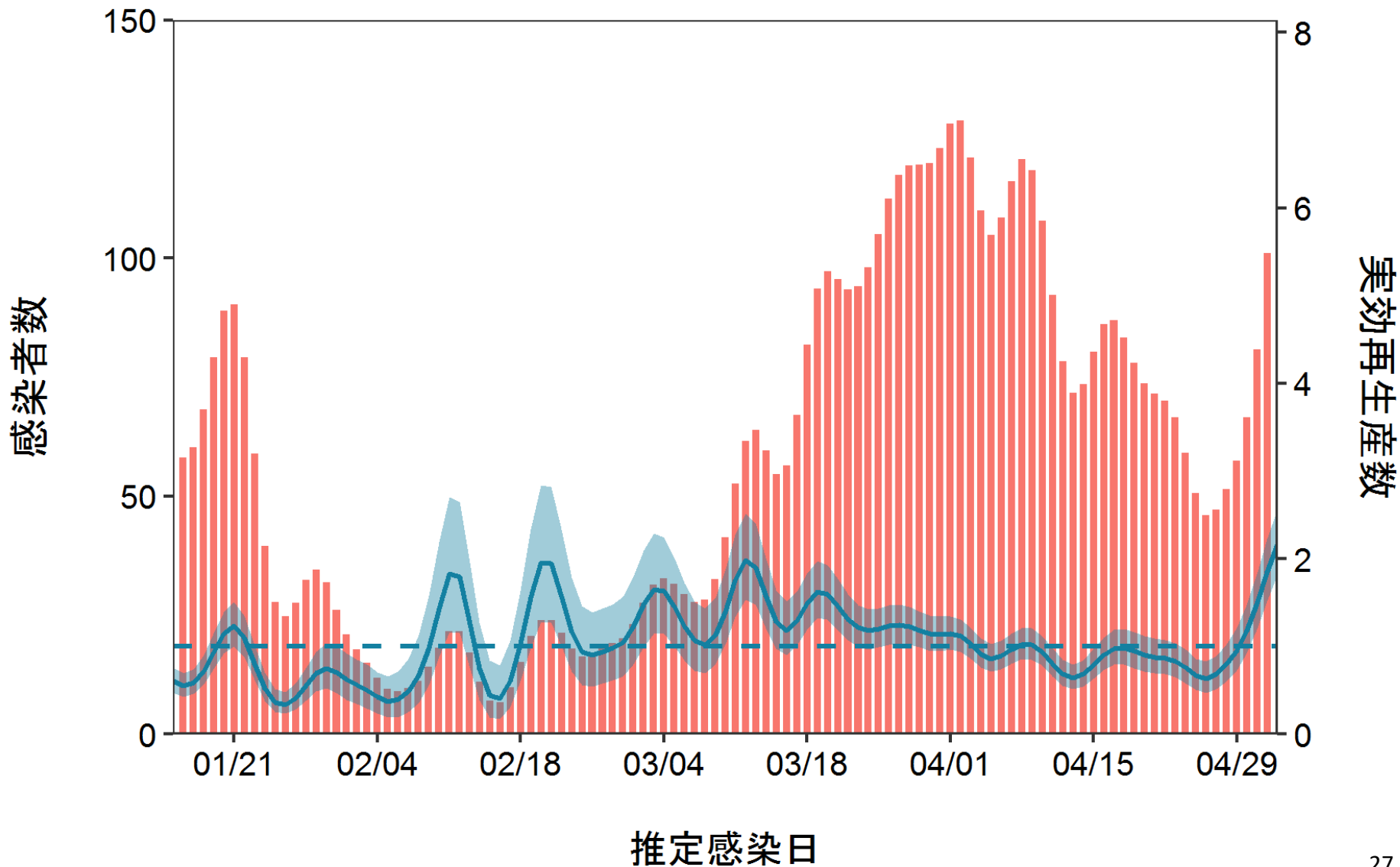
推定日 5月18日

最新推定感染日付 5月3日

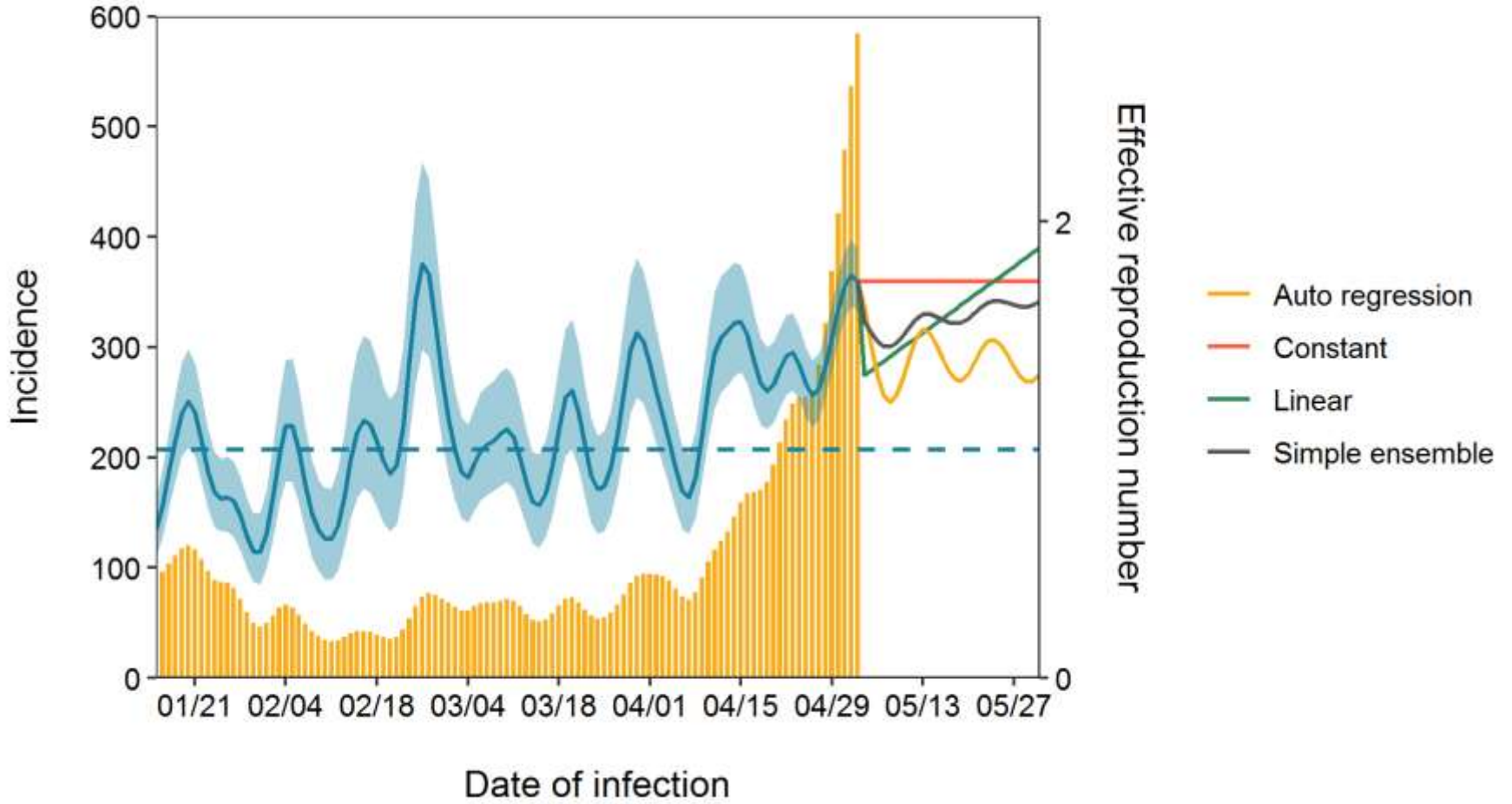
直近推定値 2.16 (1.81, 2.56)

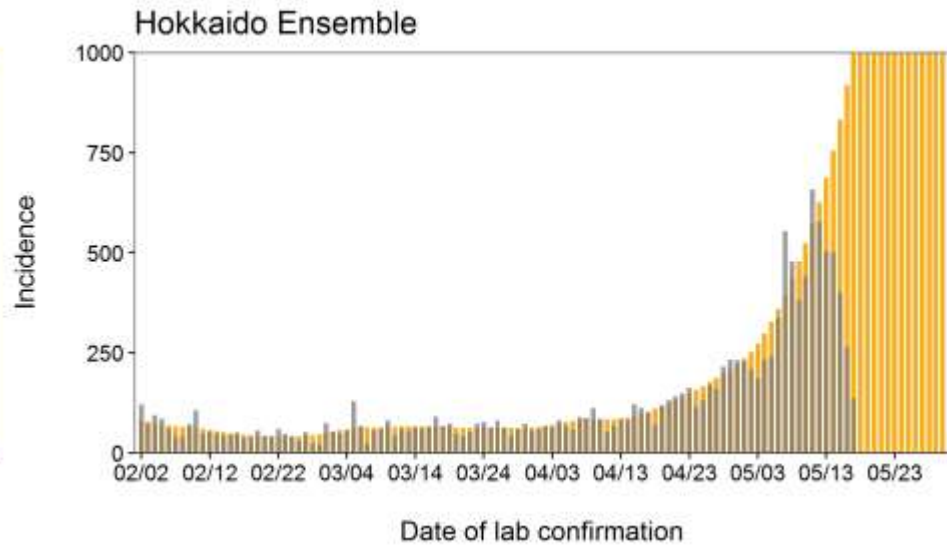
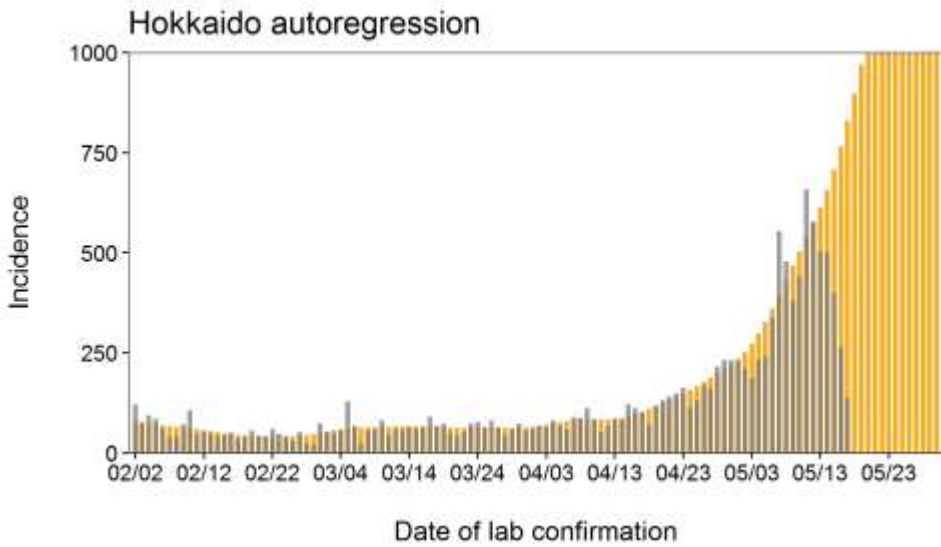
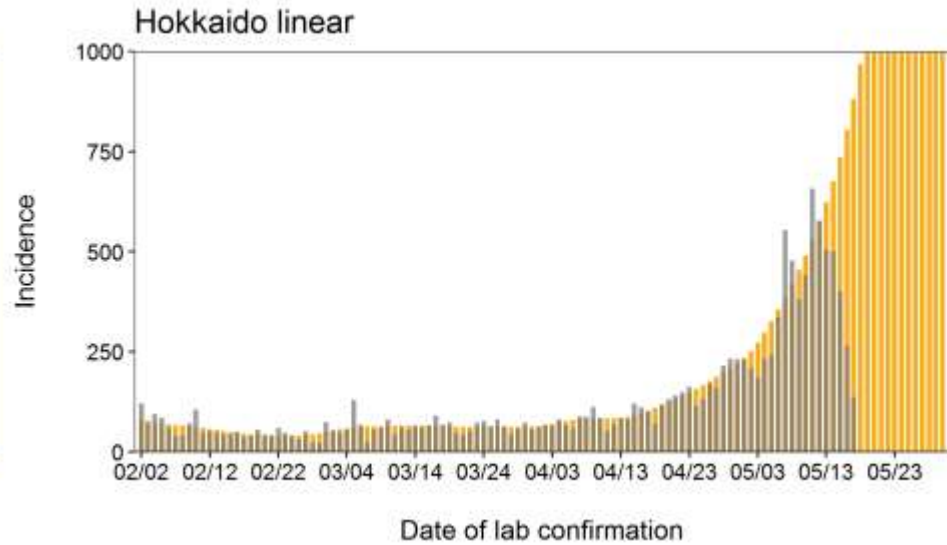
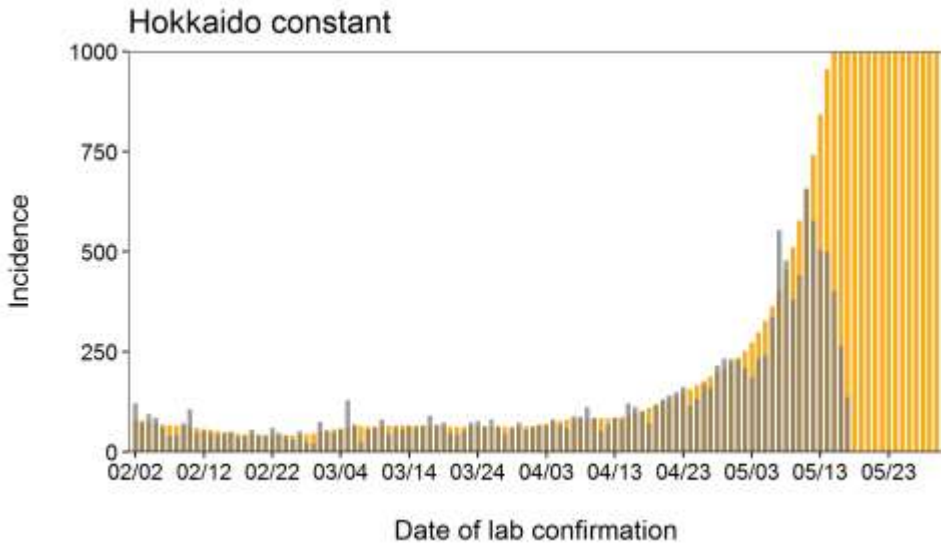
直近1週平均 1.35

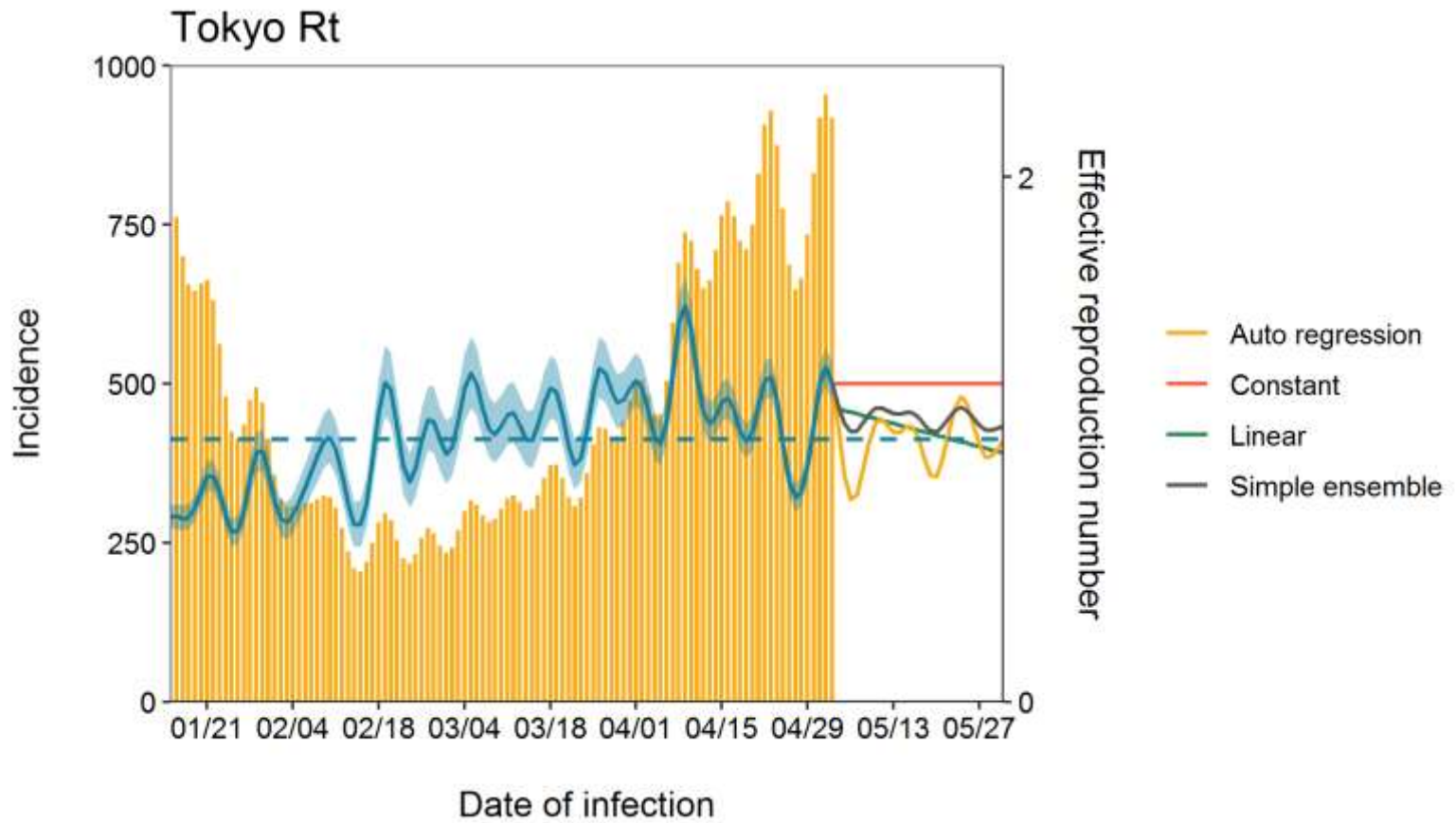
沖縄



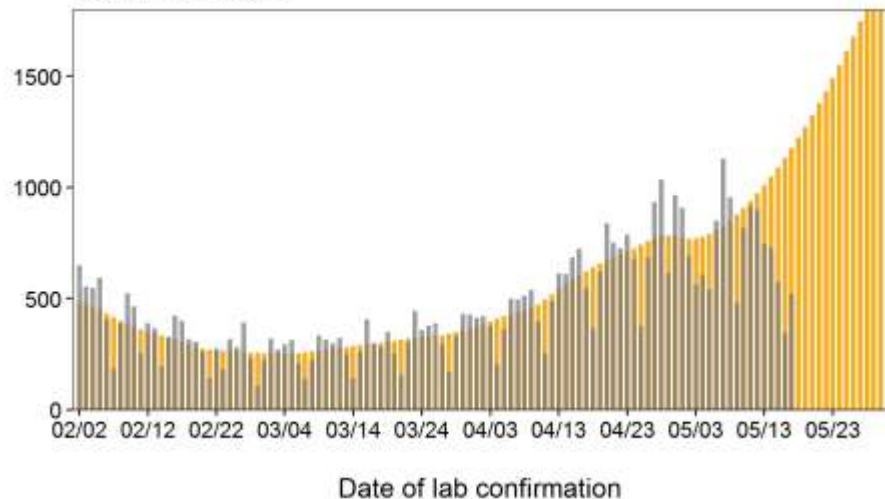
Hokkaido Rt



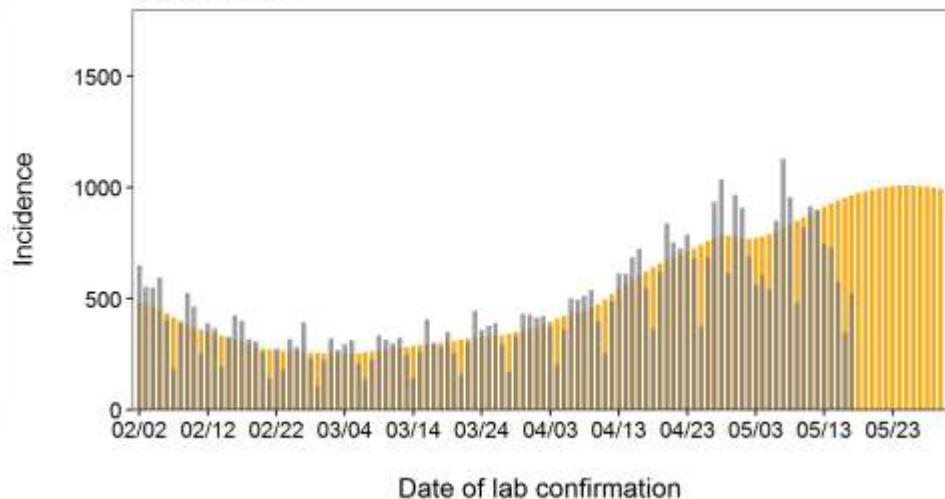




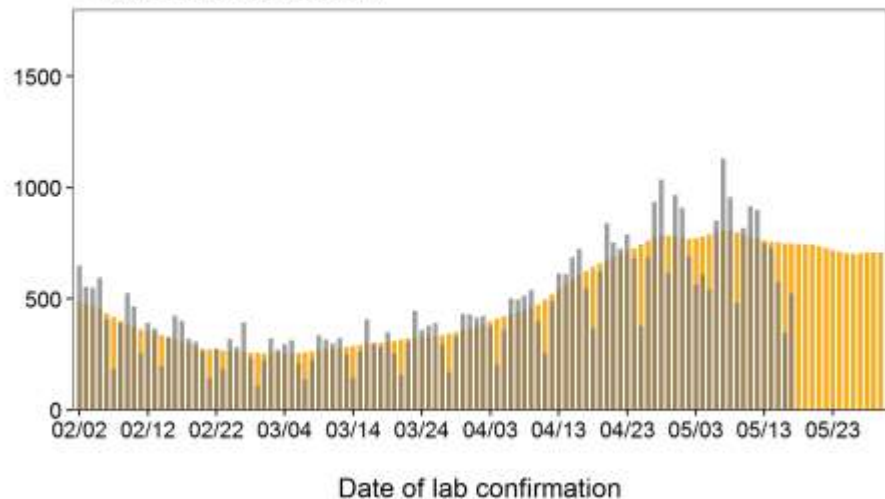
Tokyo constant



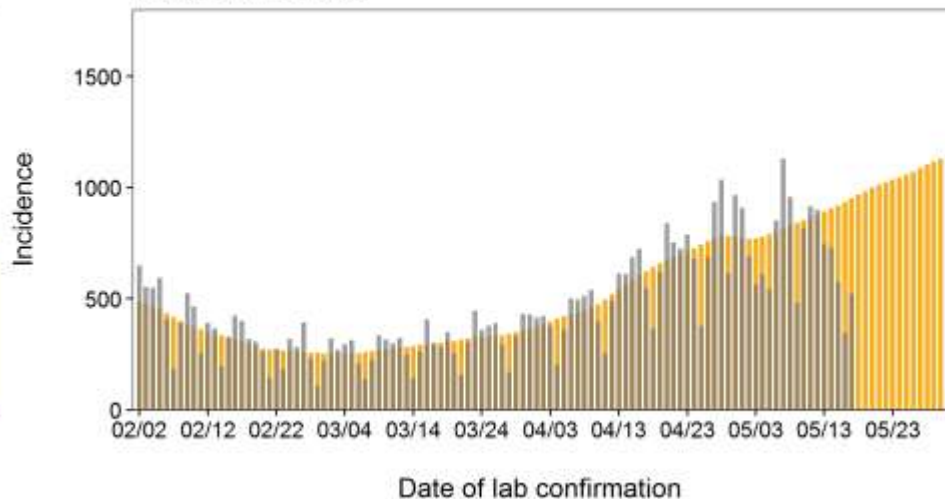
Tokyo linear

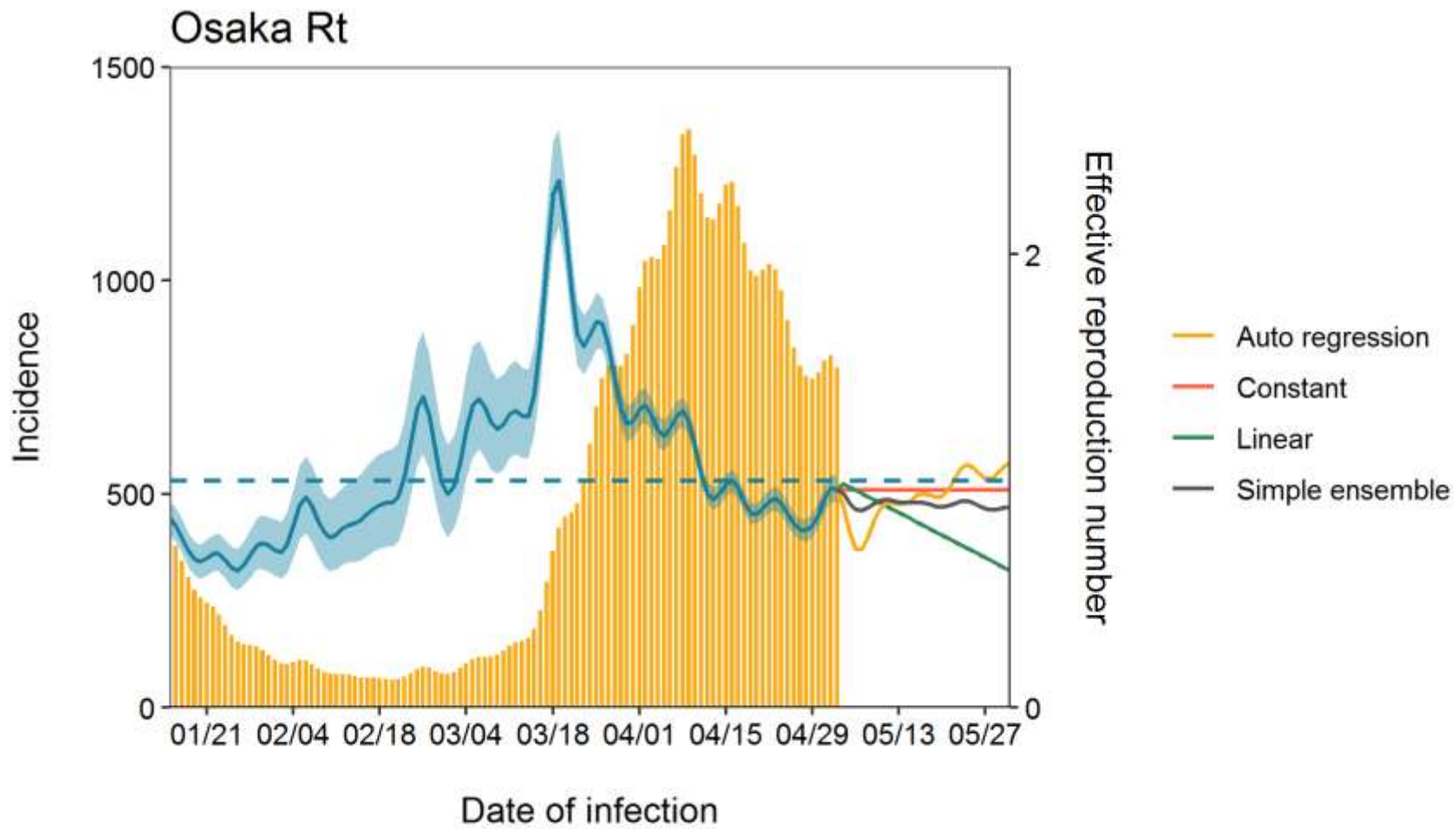


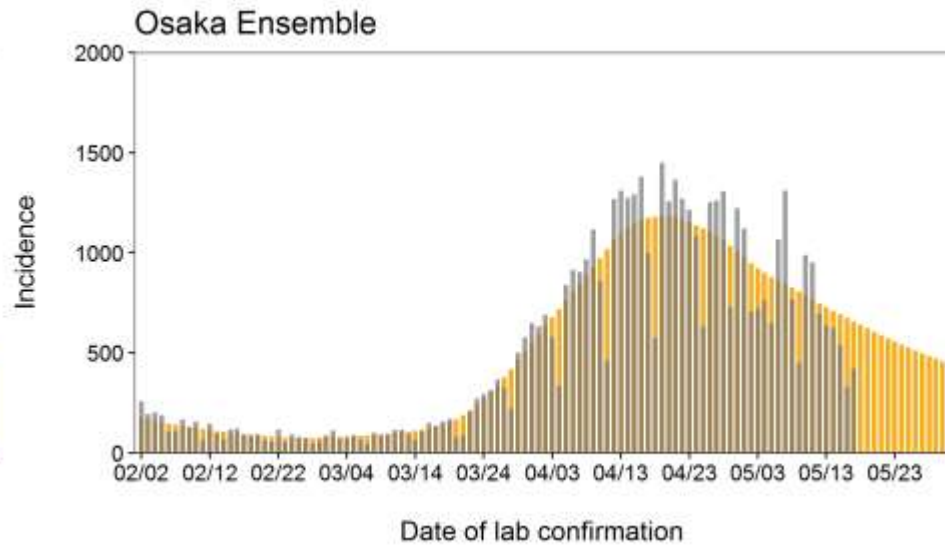
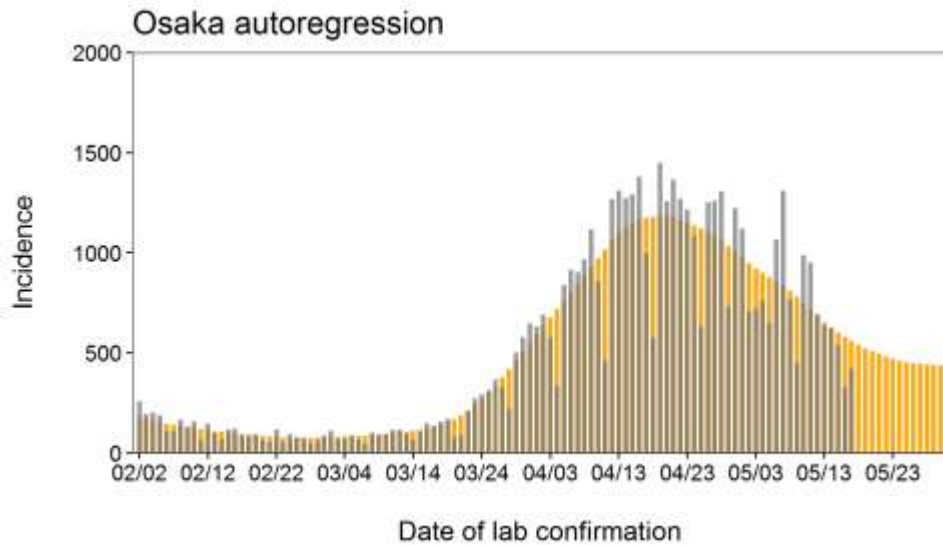
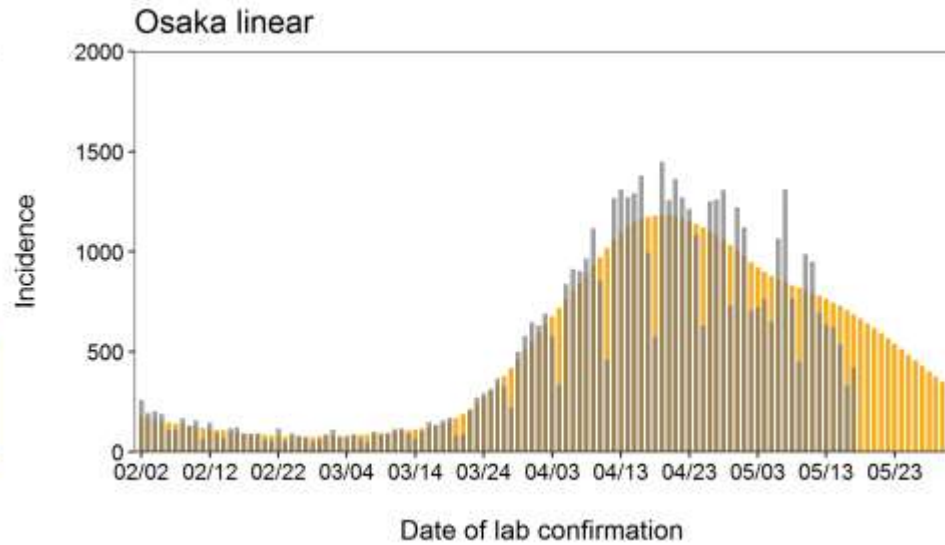
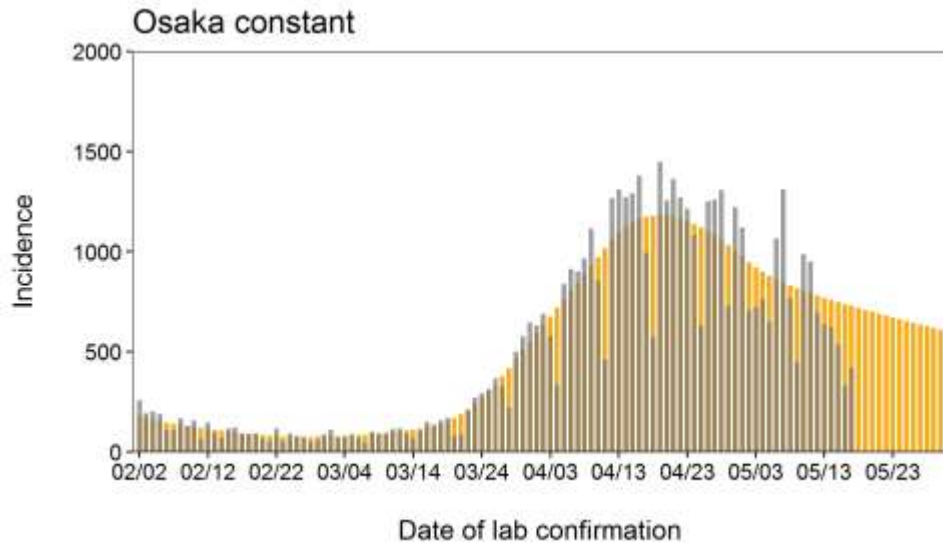
Tokyo autoregression



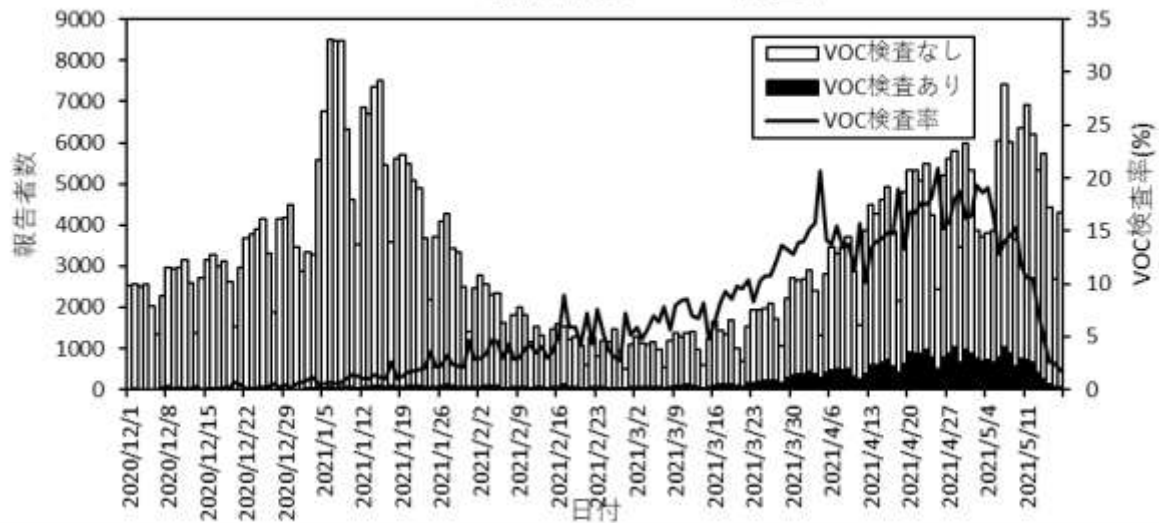
Tokyo Ensemble



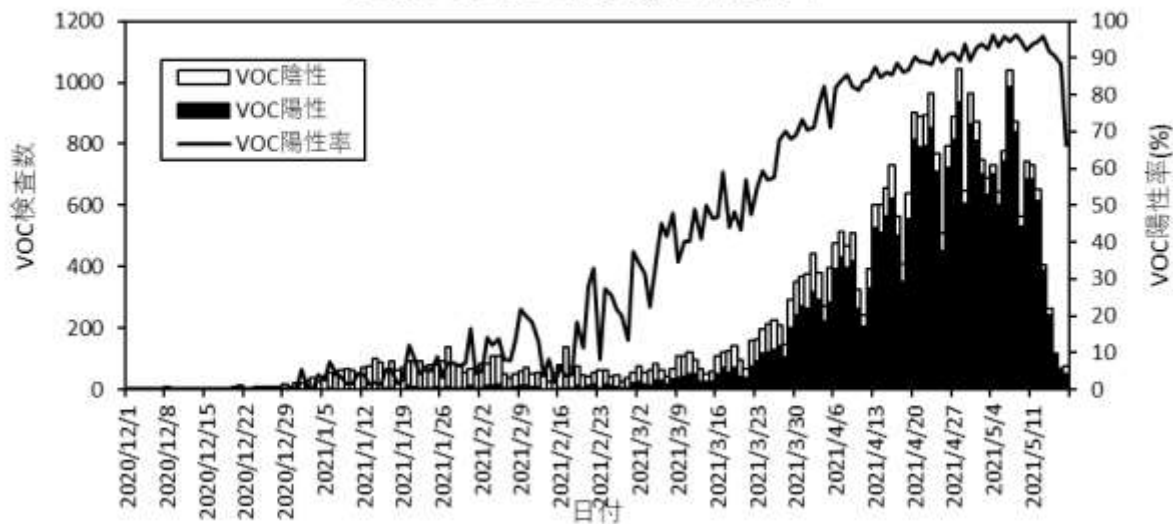




COVID-19報告者数とVOC検査率

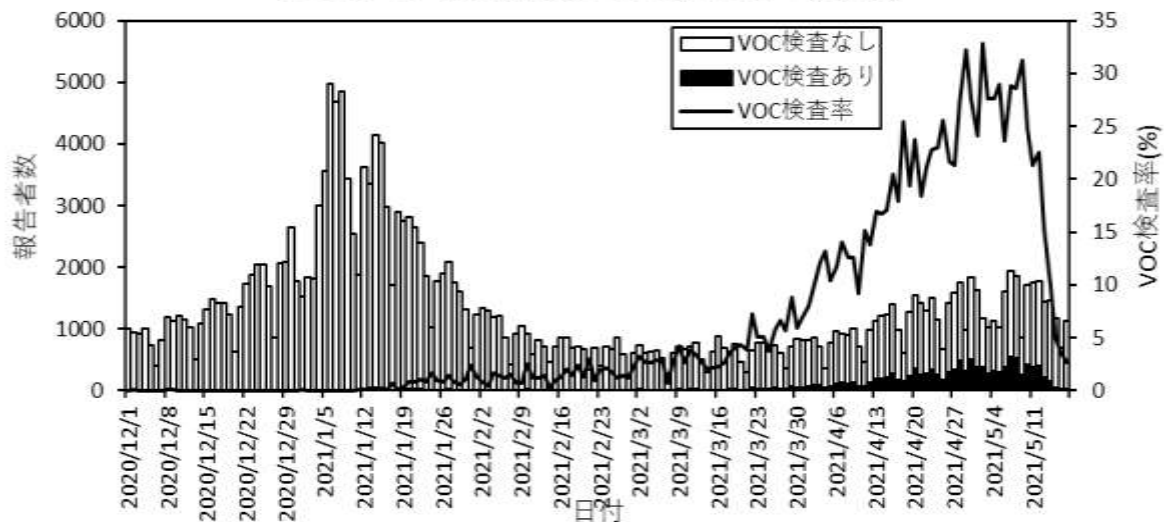


COVID-19 VOC検査数と陽性率

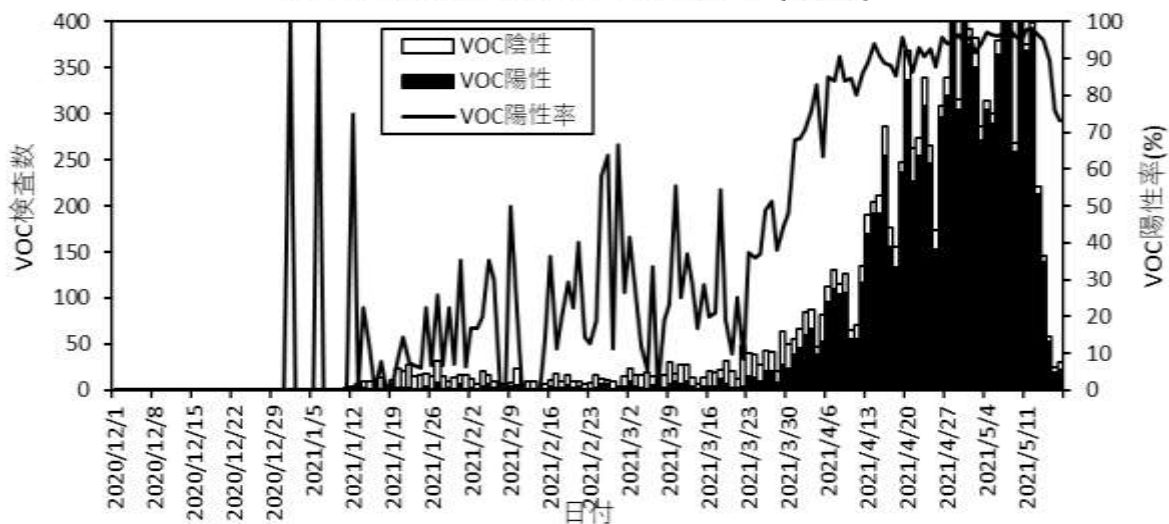


出典：HER-SYSにおけるN501Y変異スクリーニング検査結果

COVID-19報告者数とVOC検査率 (関東)

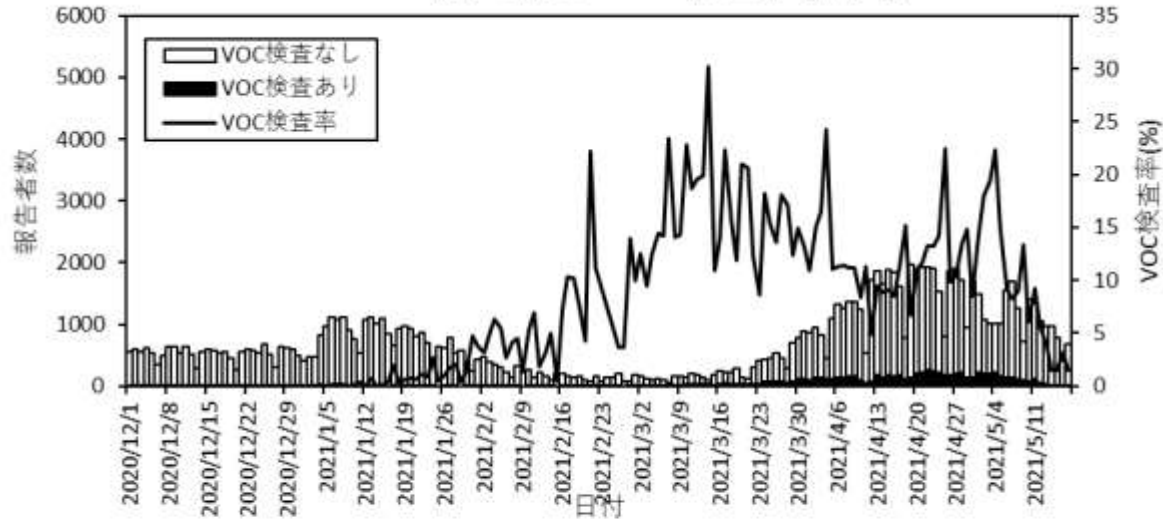


COVID-19 VOC検査数と陽性率 (関東)

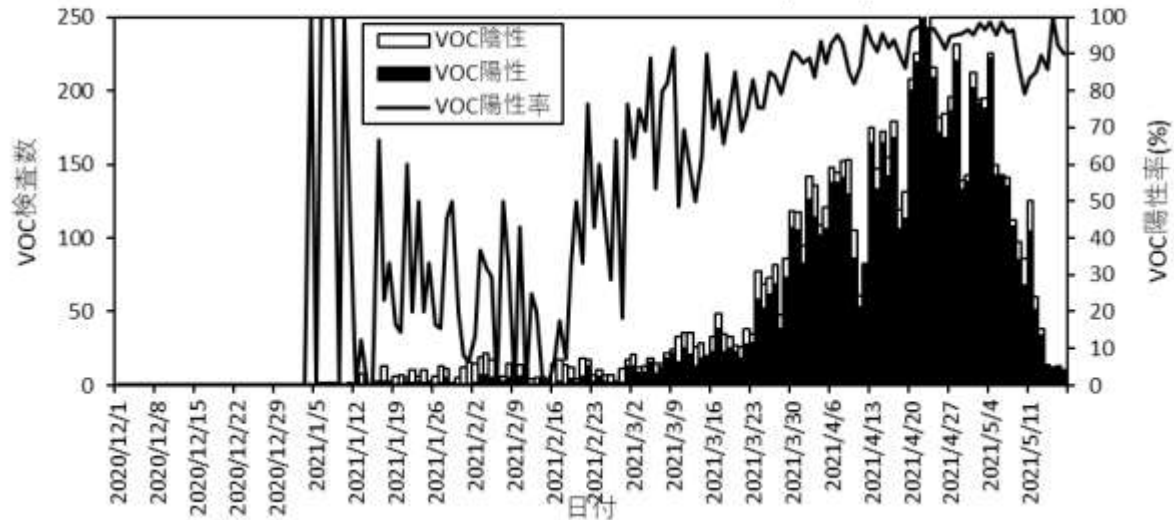


出典：HER-SYSにおけるN501Y変異スクリーニング検査結果

COVID-19報告者数とVOC検査率 (関西)



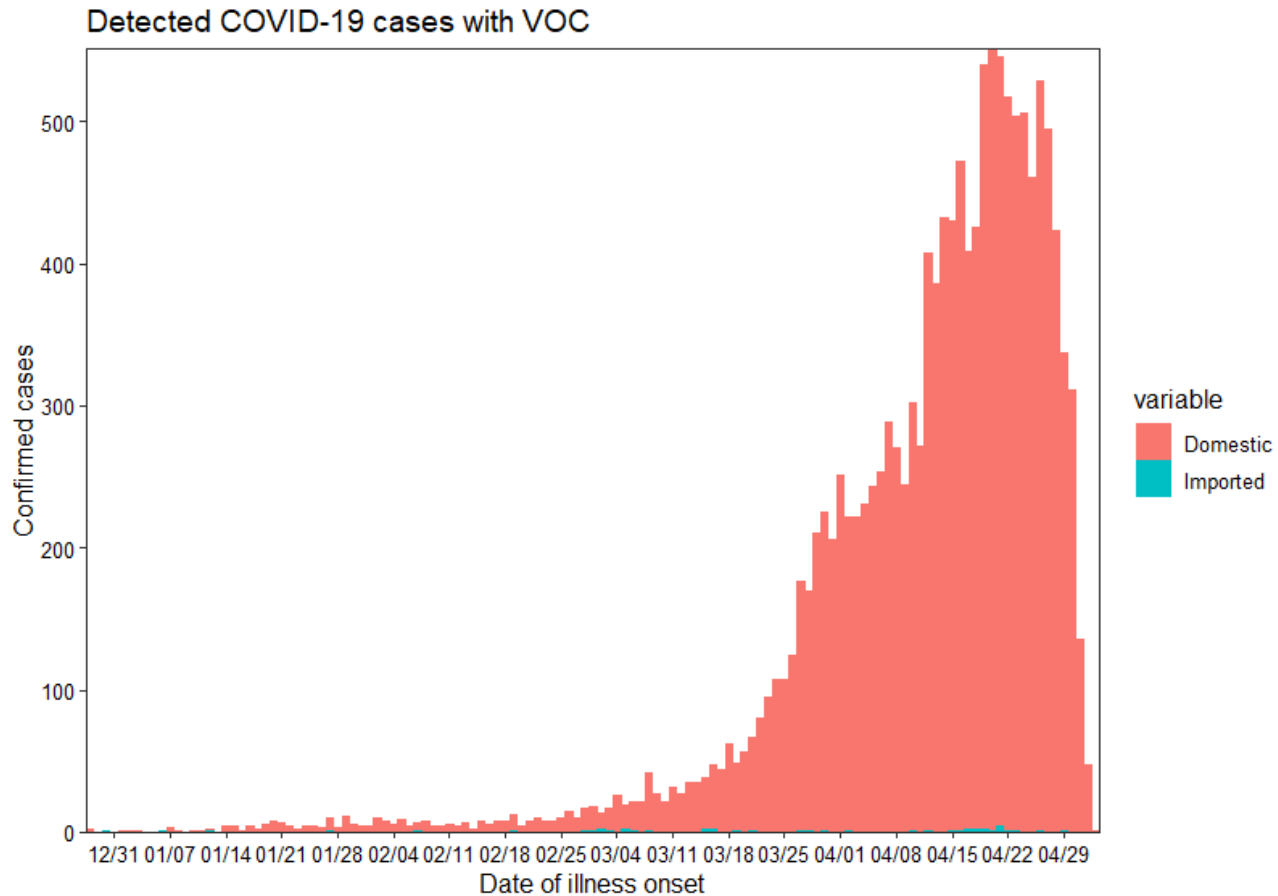
COVID-19 VOC検査数と陽性率 (関西)



全国

2020-12-28 – 2021-5-03

R
1.31 (95% CI: 1.31 – 1.32)

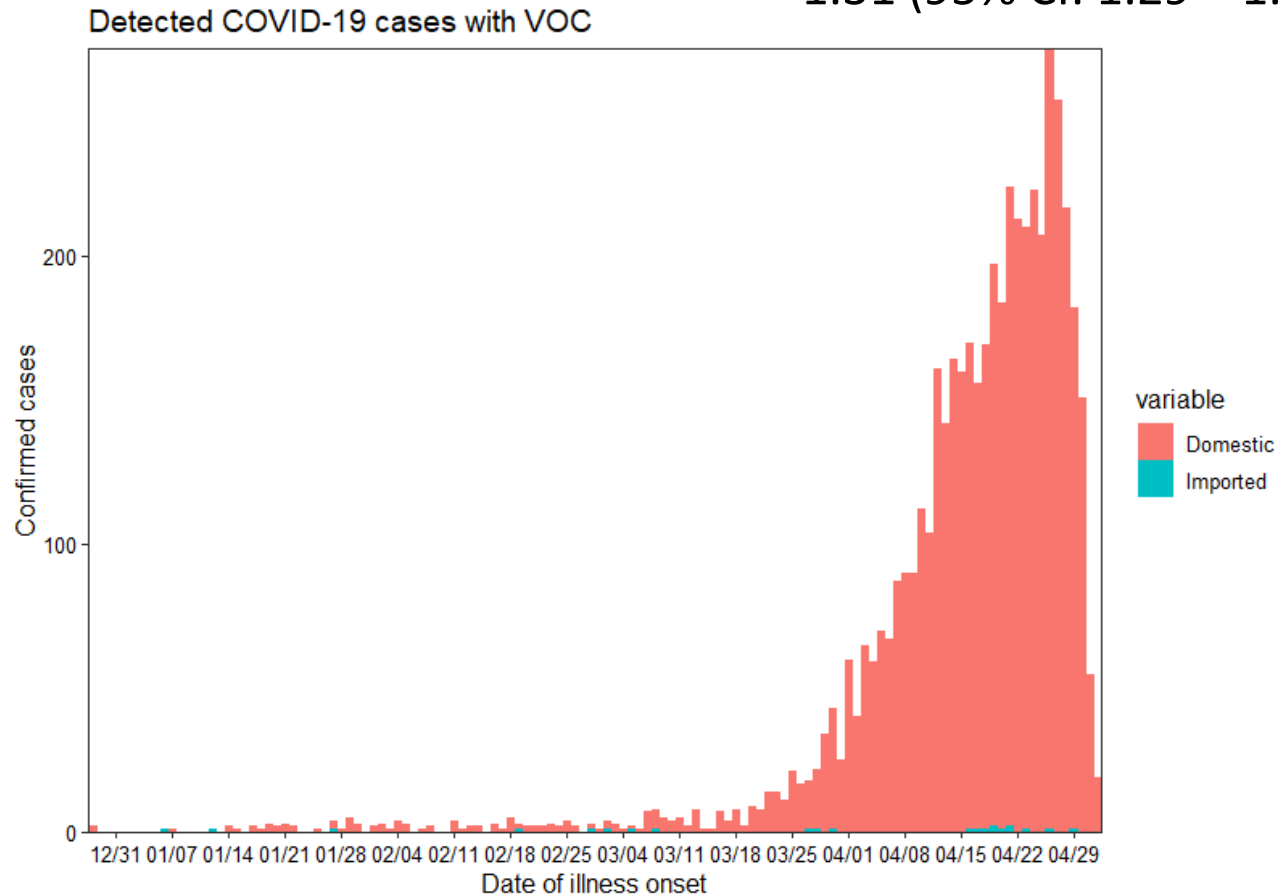


推定手法の出典：Nishiura et al. Theor Biol Med Model 2013;10:30. doi: 10.1186/1742-4682-10-30.

関東：東京、千葉、埼玉、神奈川

2020-12-28 – 2021-05-02

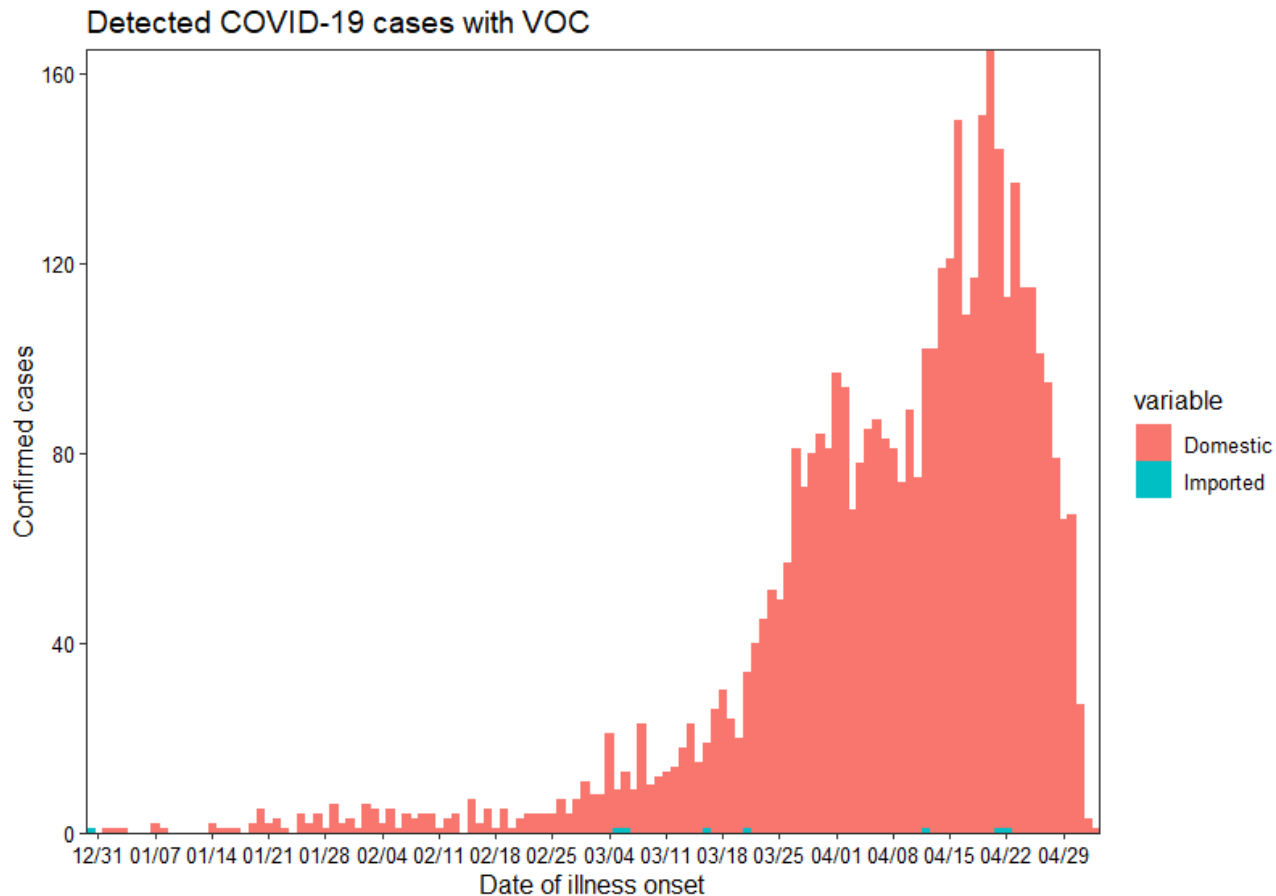
R
1.31 (95% CI: 1.29 – 1.31)



関西：京都、大阪、兵庫

2020-12-30 – 2021-05-03

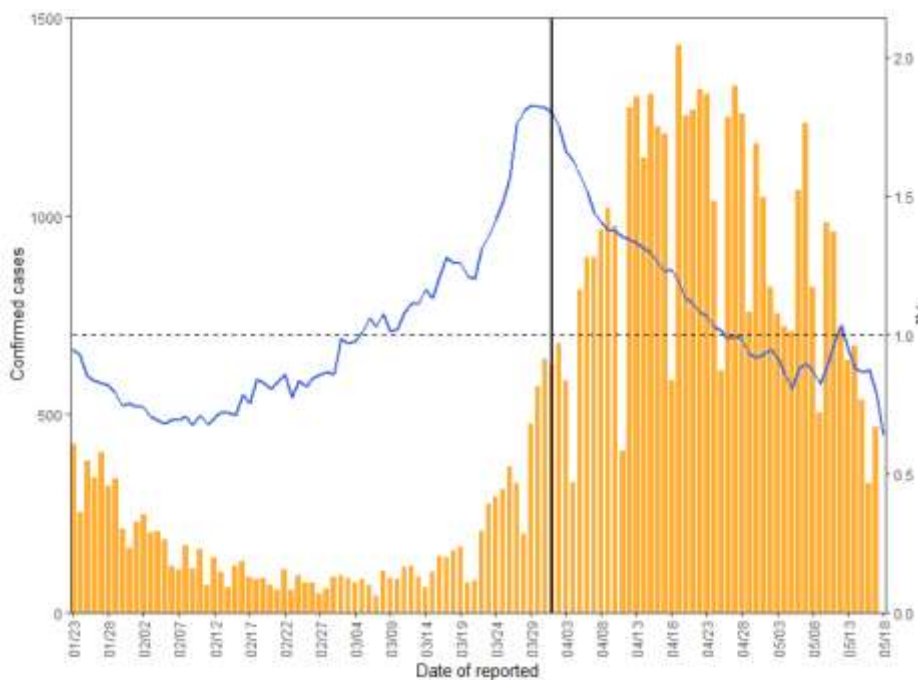
R
1.35 (95% CI: 1.33 – 1.36)



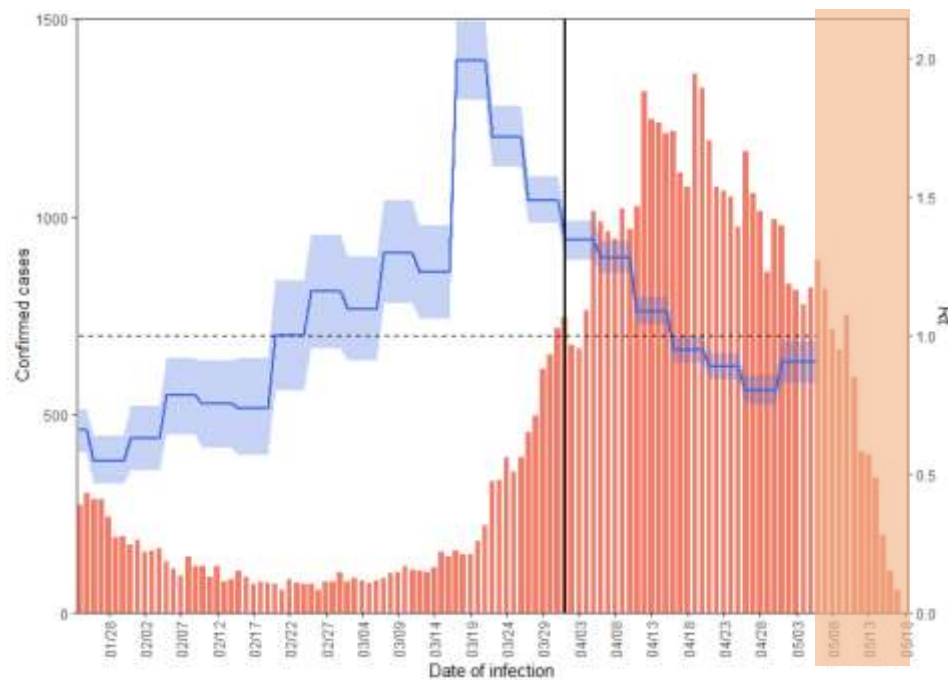
推定手法の出典：Nishiura et al. Theor Biol Med Model 2013;10:30. doi: 10.1186/1742-4682-10-30.

大阪 Rt 全PCR陽性者

発令日	措置・呼び掛け
4月1日	「まん延防止等重点措置」要請
4月5日	「まん延防止等重点措置」実施 (5/5まで施行)
4月9日	「週末の不要不急の外出や移動の自粛」を呼びかけ
4月20日	「緊急事態宣言」要請
4月25日	「緊急事態宣言」実施 (5月11日まで：後に5月末まで延長)



直近報告日は5月18日 (重点措置の4月1日に垂直線)
発病時刻に基づく簡易手法
(Nishiura et al., J R Soc Interface 2010)



直近感染日は5月6日 (重点措置の4月1日に垂直線)
直近推定区間は5月1日 - 5月6日 ($R=0.90$)、以降は
シェード
再生産方程式と感染性プロファイルを利用した方法
(Nakajo & Nishiura. J Clin Med 2021)

※大阪府は患者急増による報告 (入力等) の遅れについて要継続検討

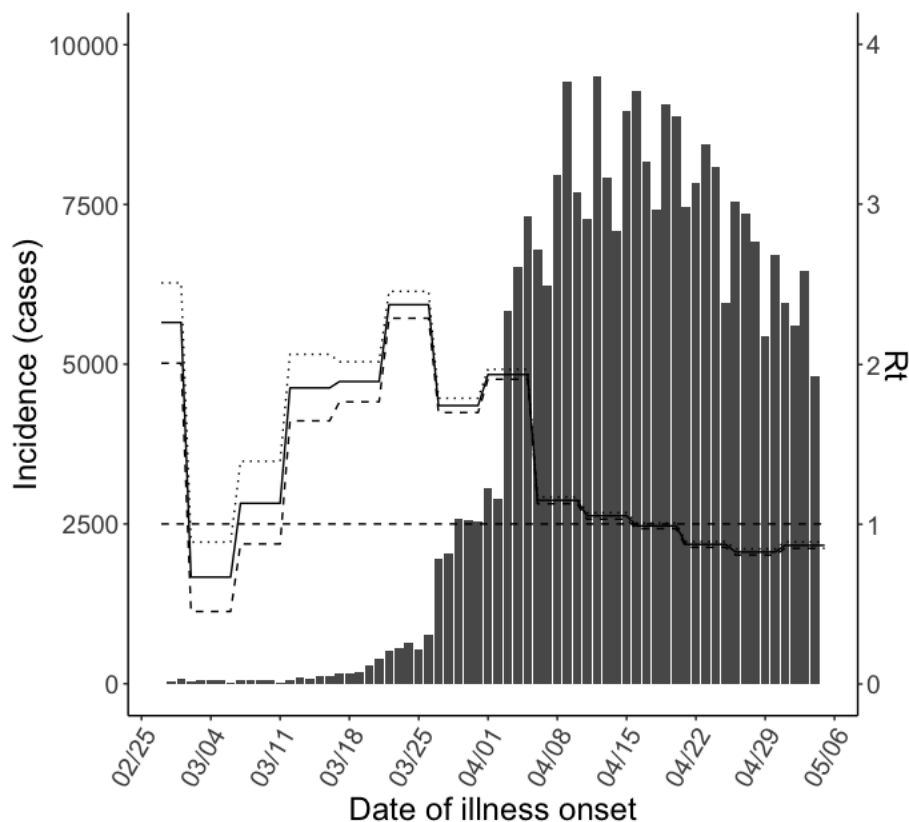
英国株 (VOC)のみのRt評価+PCR陽性率補正 (PCR陽性オッズ使用)

(5月17日までの発症日に関する報告データを使用。

直近区間のみ若干の過少評価の可能性あり)

最終推定区間：5月1-5日

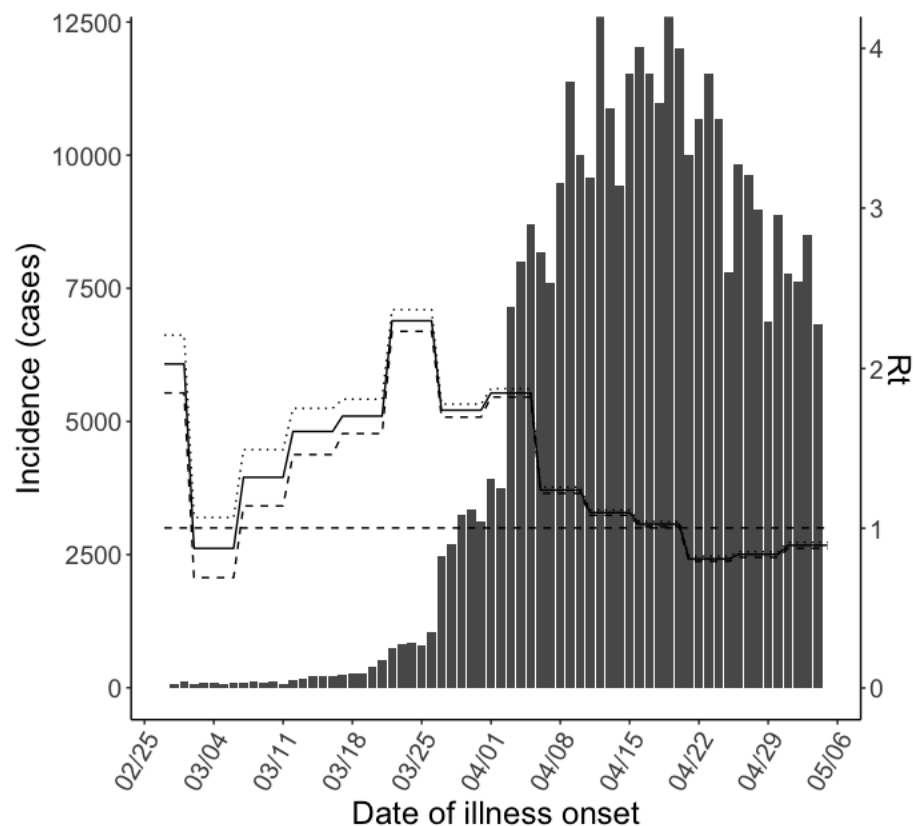
大阪VOC-Positive



大阪兵庫VOC-Positive

PCR-positive rate補正あり

地域でのPCR-positive rateのオッズ比で修正
地域間のcasesの絶対値の比較に意味はない



推定手法の出典：Nakajo & Nishiura. J Clin Med 2021;10(6):1256.

doi: 10.3390/jcm10061256.

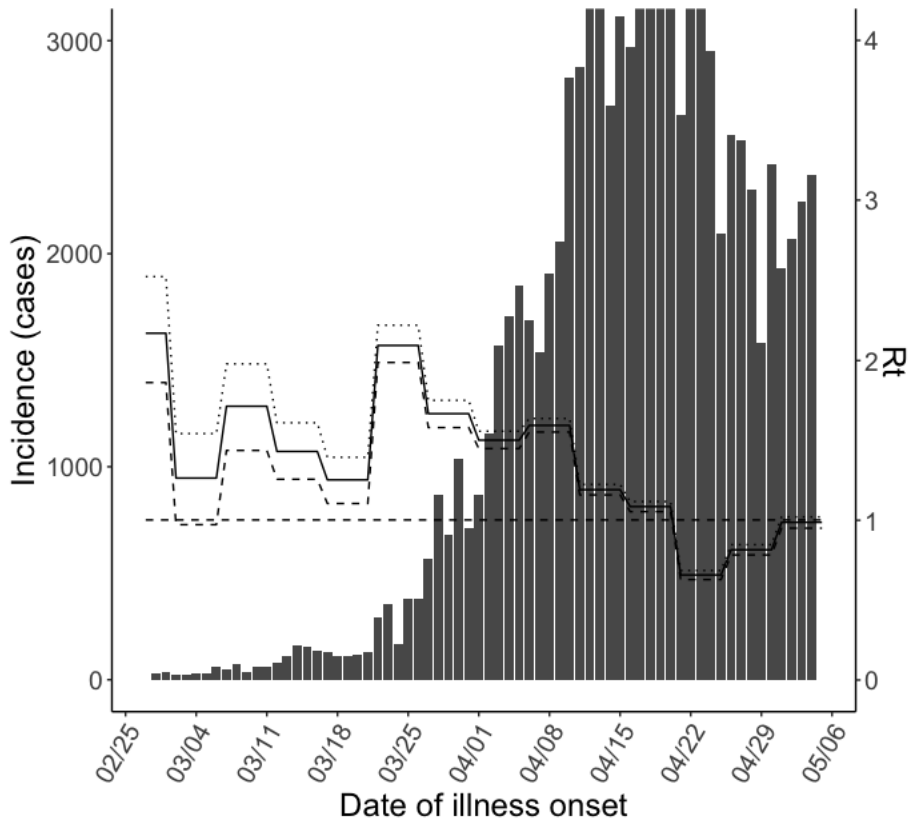
英国株 (VOC)のみのRt評価+PCR陽性率補正 (PCR陽性オッズ使用)

(5月17日までの発症日に関する報告データを使用。

直近区間のみ若干の過少評価の可能性あり)

最終推定区間：5月1-5日

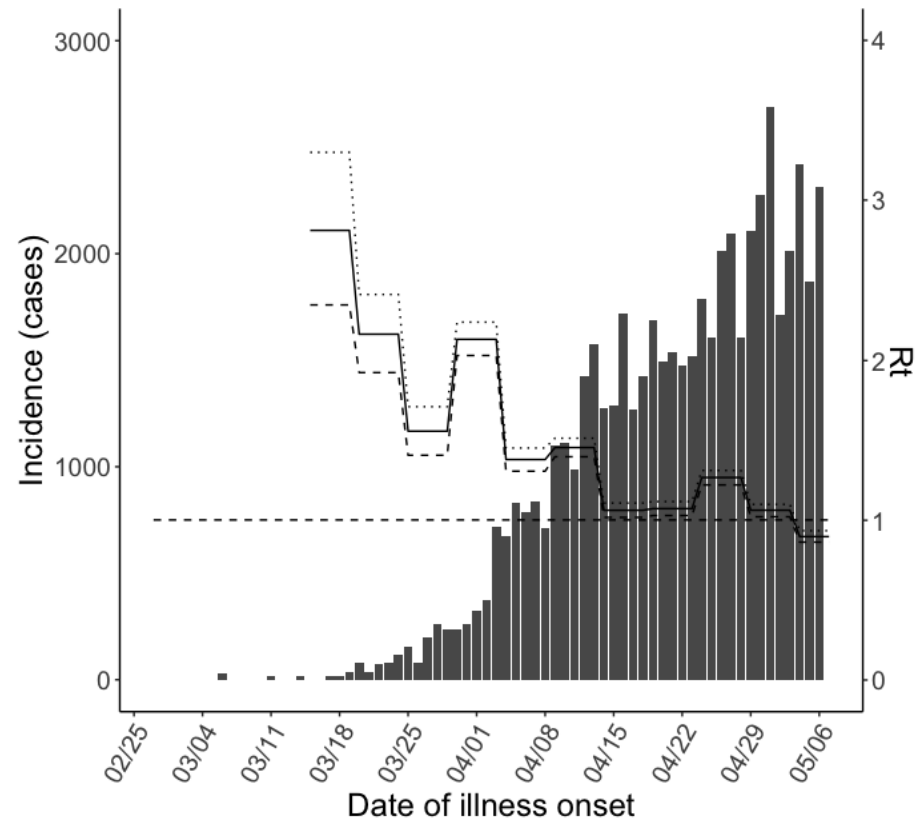
兵庫VOC-Positive



京都VOC-Positive

PCR-positive rate補正あり

地域でのPCR-positive rateのオッズ比で修正
地域間のcasesの絶対値の比較に意味はない



推定手法の出典：Nakajo & Nishiura. J Clin Med 2021;10(6):1256.

doi: 10.3390/jcm10061256.

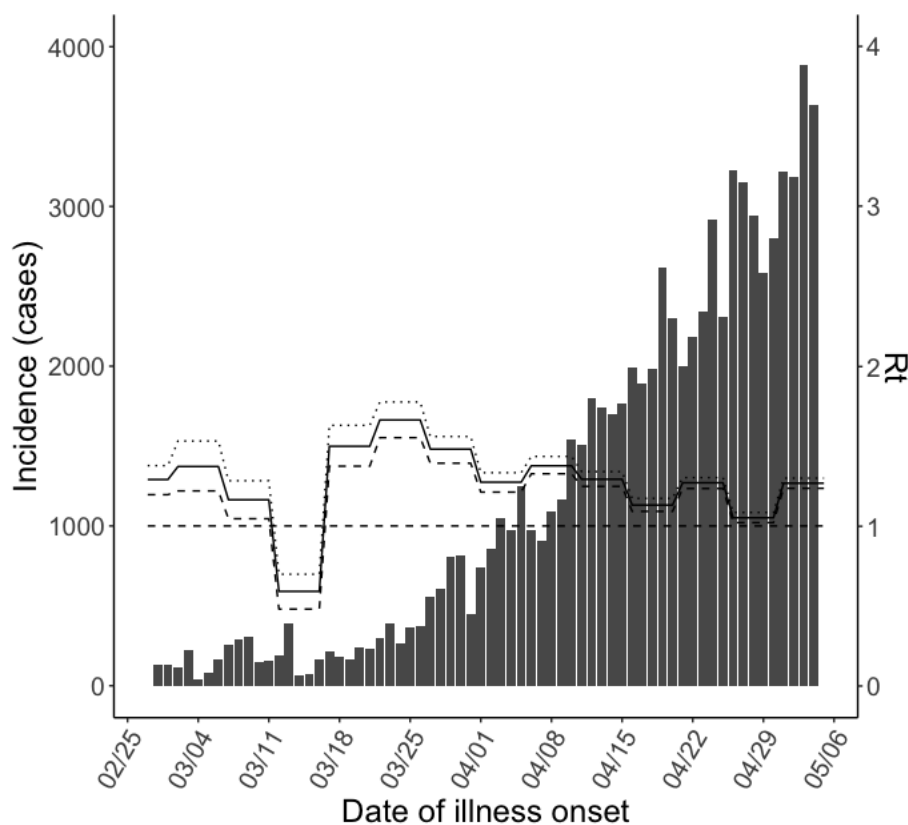
英国株 (VOC)のみのRt評価+PCR陽性率補正 (PCR陽性オッズ使用)

(5月17日までの発症日に関する報告データを使用。

直近区間のみ若干の過少評価の可能性あり)

最終推定区間：5月1-5日

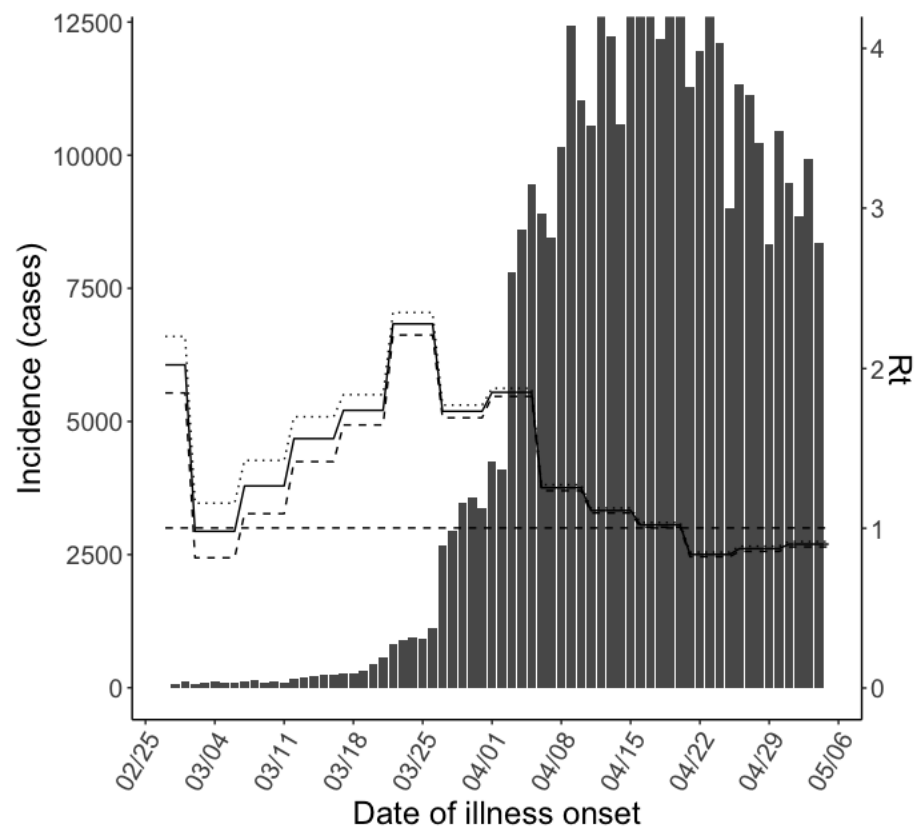
東京神奈川千葉埼玉VOC-Positive



大阪兵庫京都VOC-Positive

PCR-positive rate補正あり

地域でのPCR-positive rateのオッズ比で修正
地域間のcasesの絶対値の比較に意味はない



推定手法の出典：Nakajo & Nishiura. J Clin Med 2021;10(6):1256.

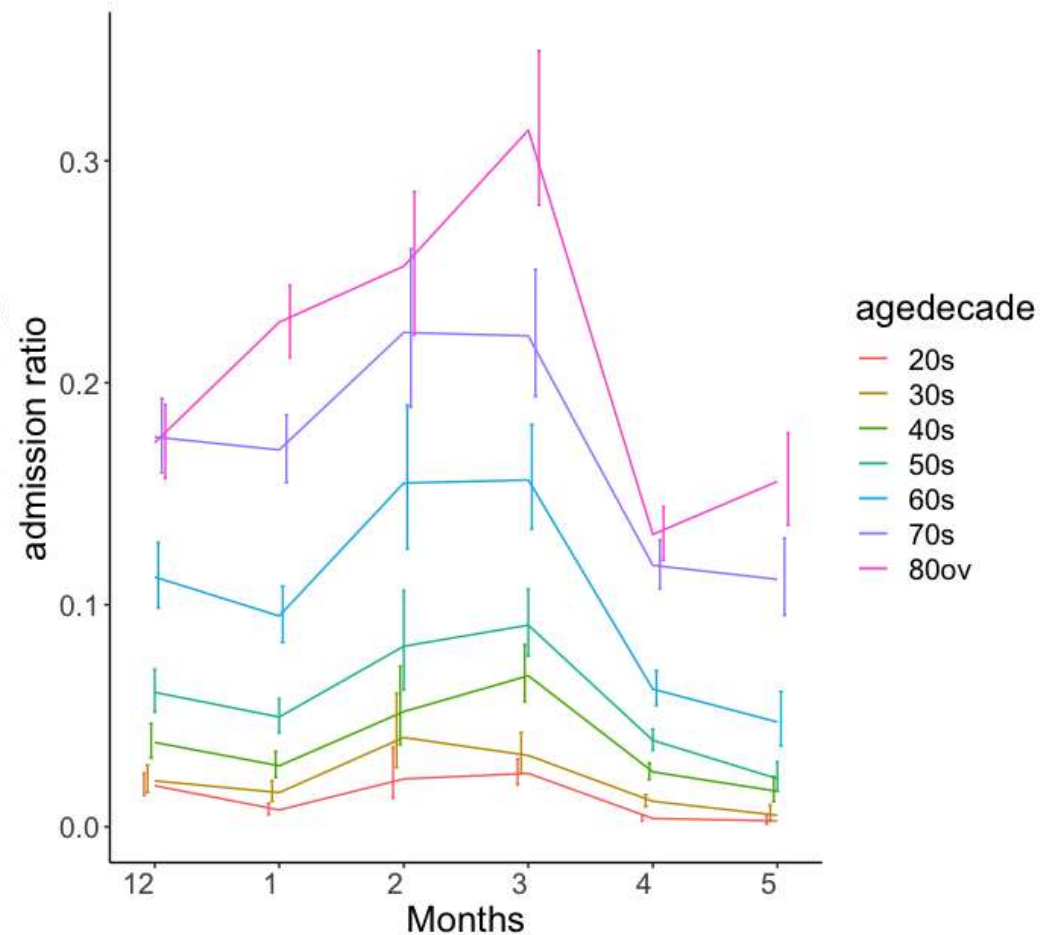
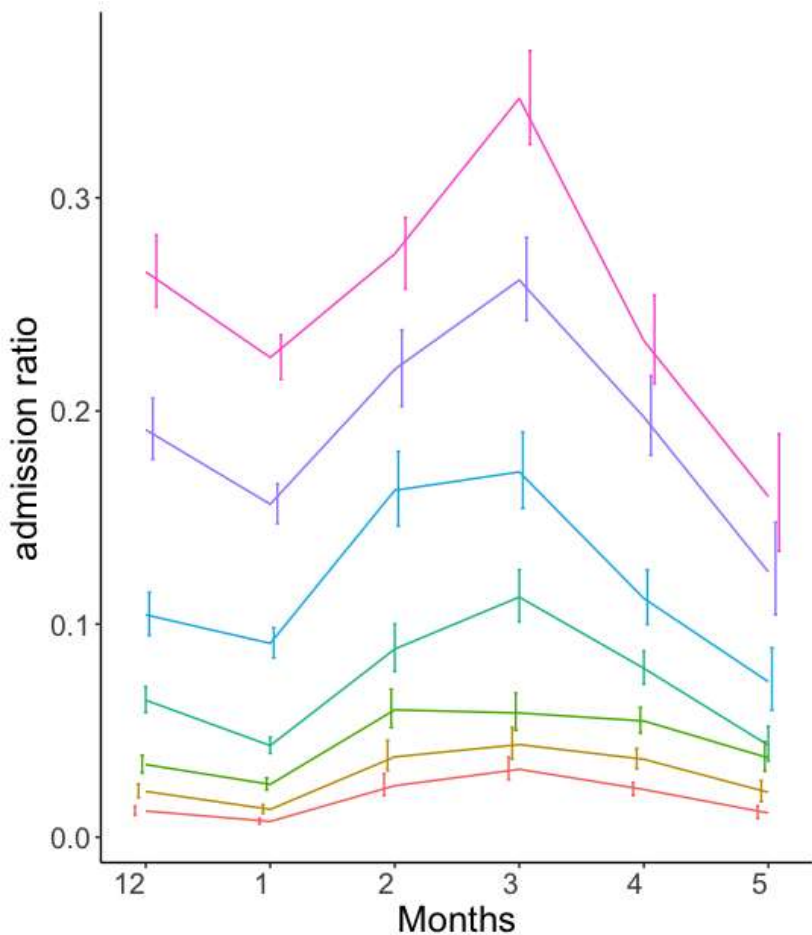
doi: 10.3390/jcm10061256.

全感染者（5月17日までの発症日に関する報告データを使用）

5月の入院率は、今後入院する可能性のあるcaseを加味すると過小評価の可能性あり

東京神奈川千葉埼玉 入院化率

大阪兵庫京都 入院化率

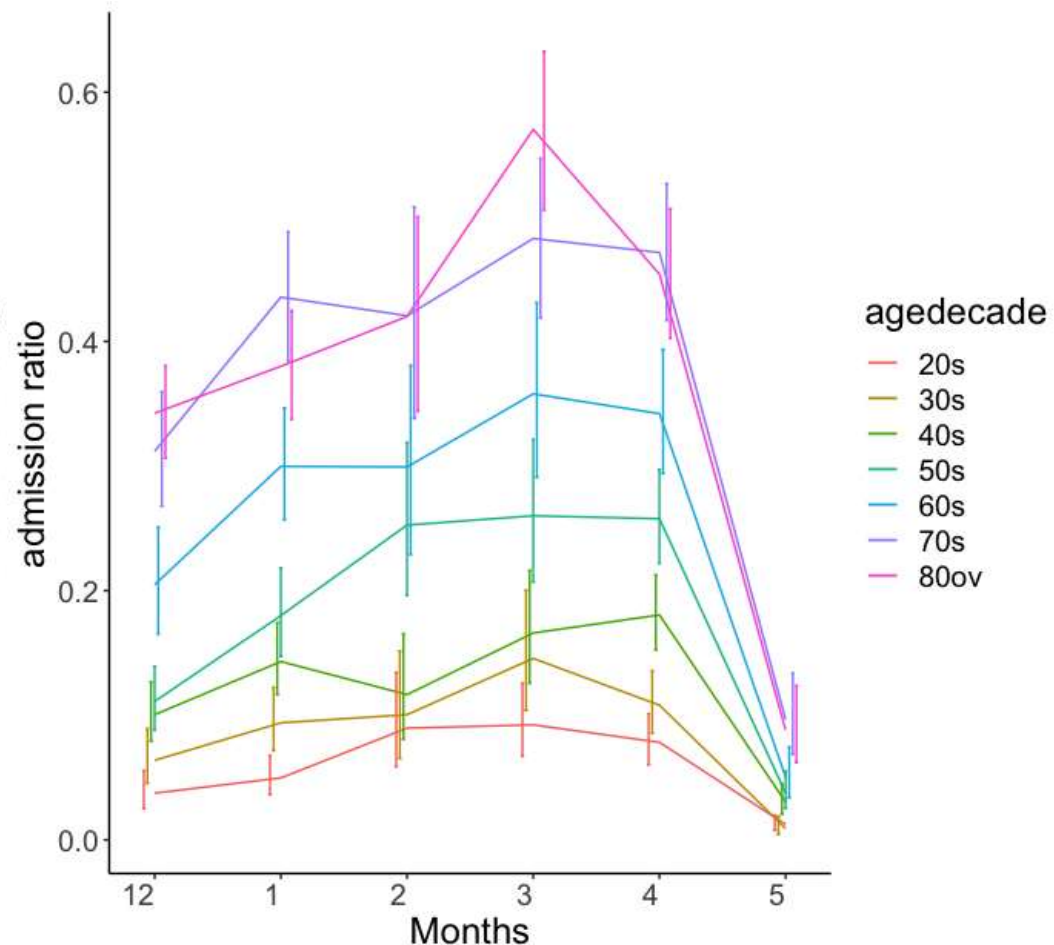
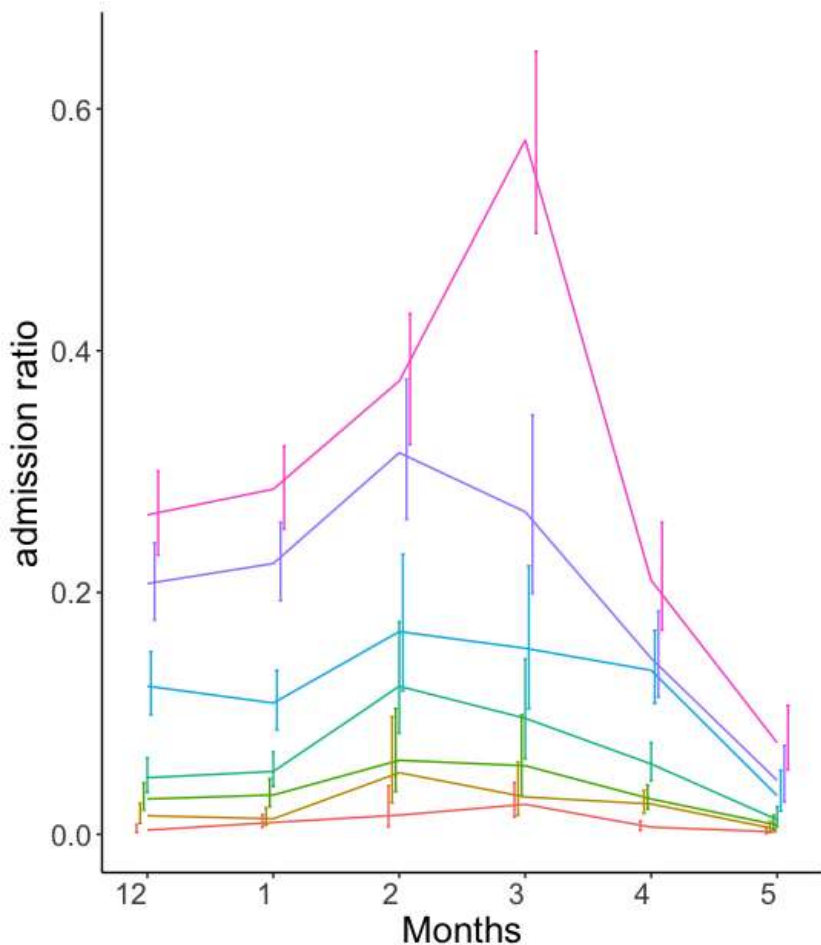


出典：HERSYSにおける転帰情報

全感染者（5月17日までの発症日に関する報告データを使用）

5月の入院率は、今後入院する可能性のあるcaseを
加味すると過小評価の可能性あり
北海道 入院化率

愛知 入院化率



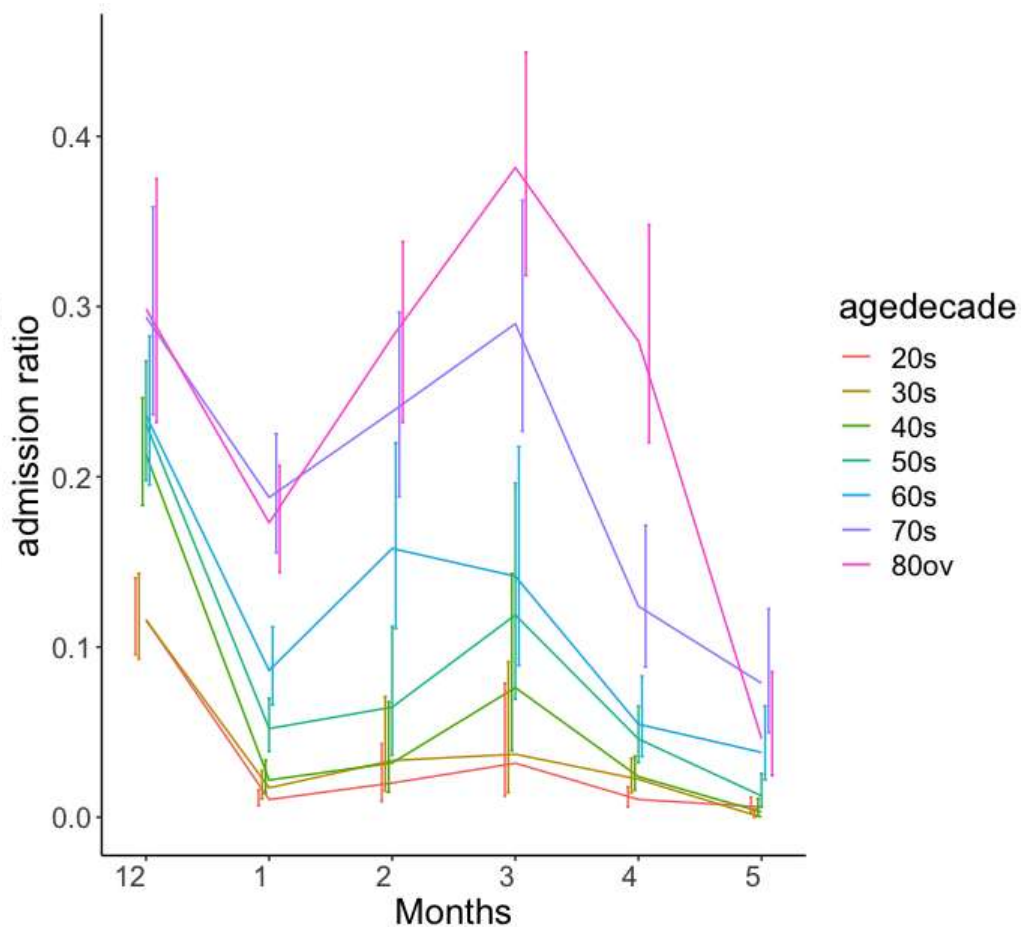
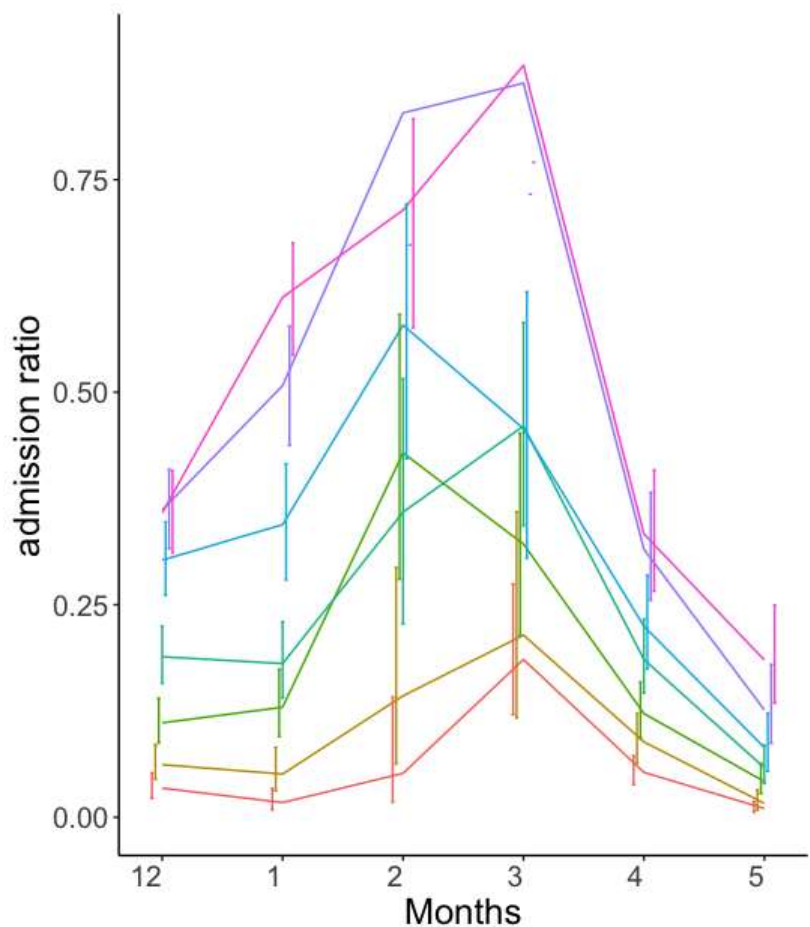
出典：HERSYSにおける転帰情報

全感染者（5月17日までの発症日に関する報告データを使用）

5月の入院率は、今後入院する可能性のあるcaseを加味すると過小評価の可能性あり

広島岡山 入院化率

福岡 入院化率

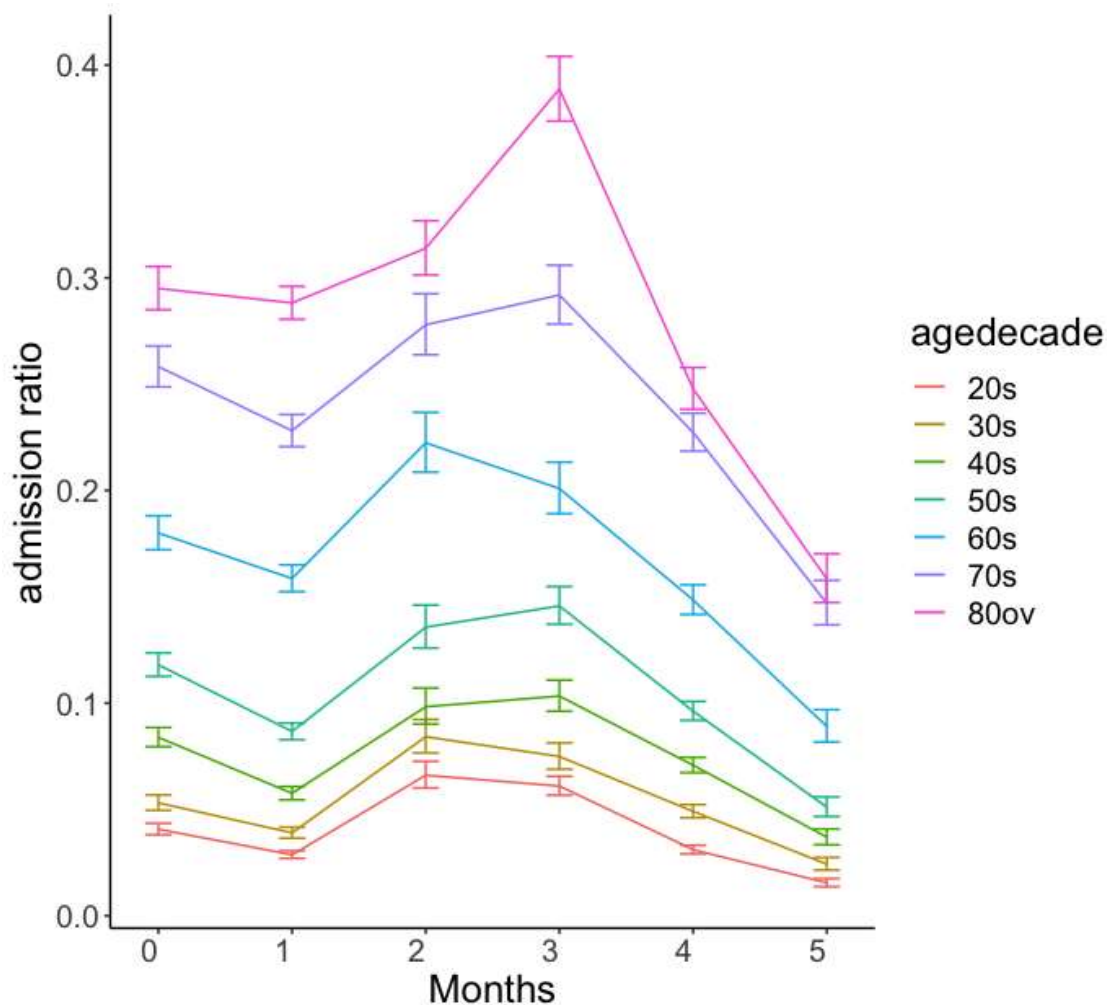


出典：HERSYSにおける転帰情報

全感染者（5月17日までの発症日に関する報告データを使用）

参考：全国

5月の入院率は、今後入院する可能性のあるcaseを加味すると過小評価の可能性あり



出典：HERSYSにおける転帰情報

発症日別 (d=1, 2, and 3) :

1期 第3波 : 11/16-2/28

2期 第4波 : 3/1-3/31

3期 第4波増大 : 4/1-4/30

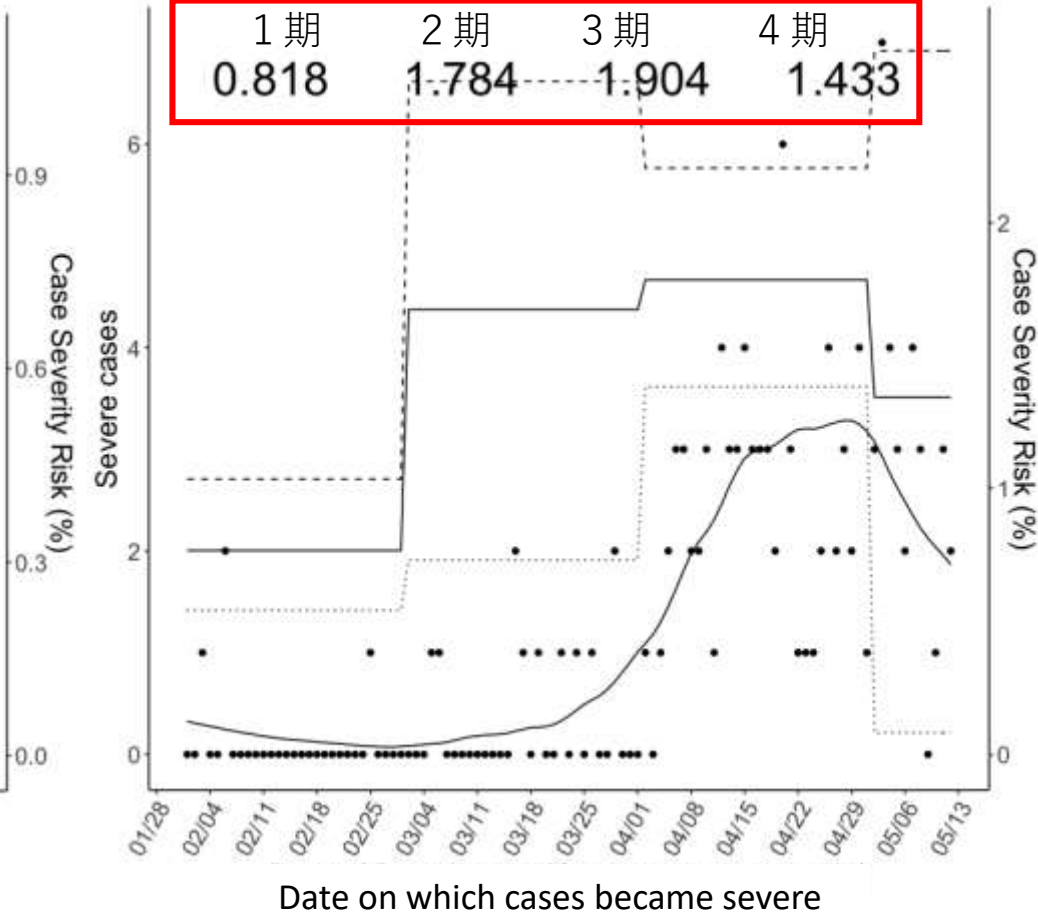
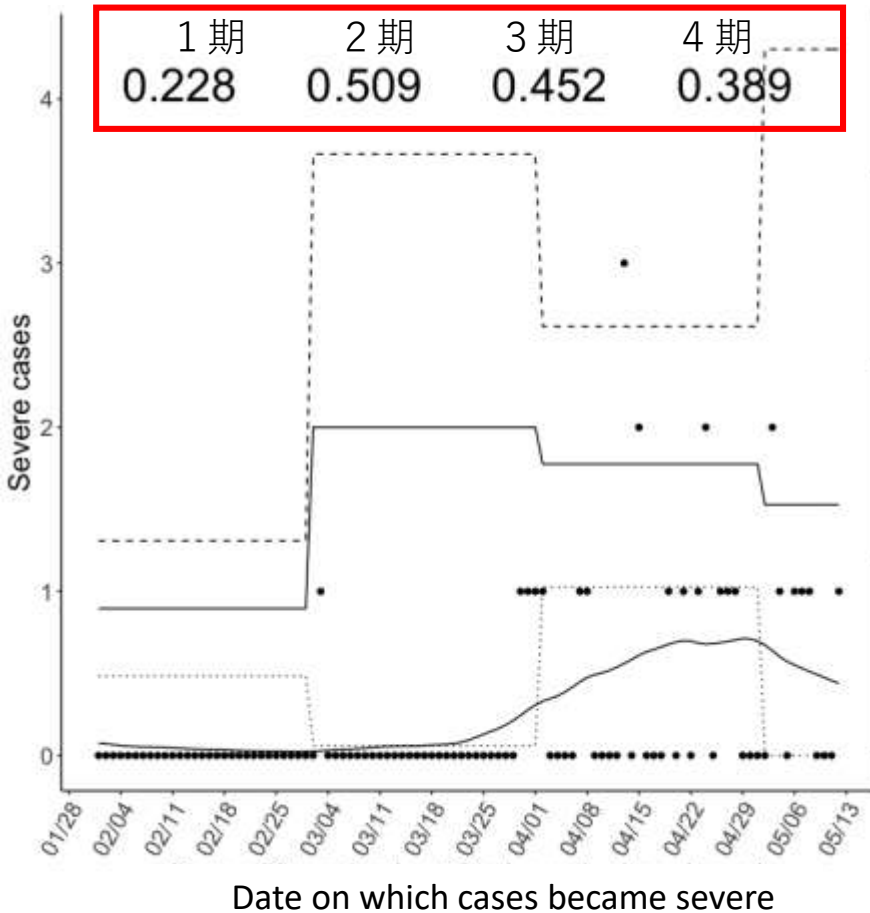
4期 第4波増大 : 5/1以降

$$s(t) = \int_0^{\infty} \sum_{d=d_1, d_2, d_3, d_4} p_d i_d(t-s) f(s) ds,$$

$f(s)$ は発症から重症化までのpdf

大阪重症化率 30代

大阪重症化率 40代



発症日別 (d=1, 2, and 3) :

1期 第3波 : 11/16-2/28

2期 第4波 : 3/1-3/31

3期 第4波増大 : 4/1-4/30

4期 第4波増大 : 5/1以降

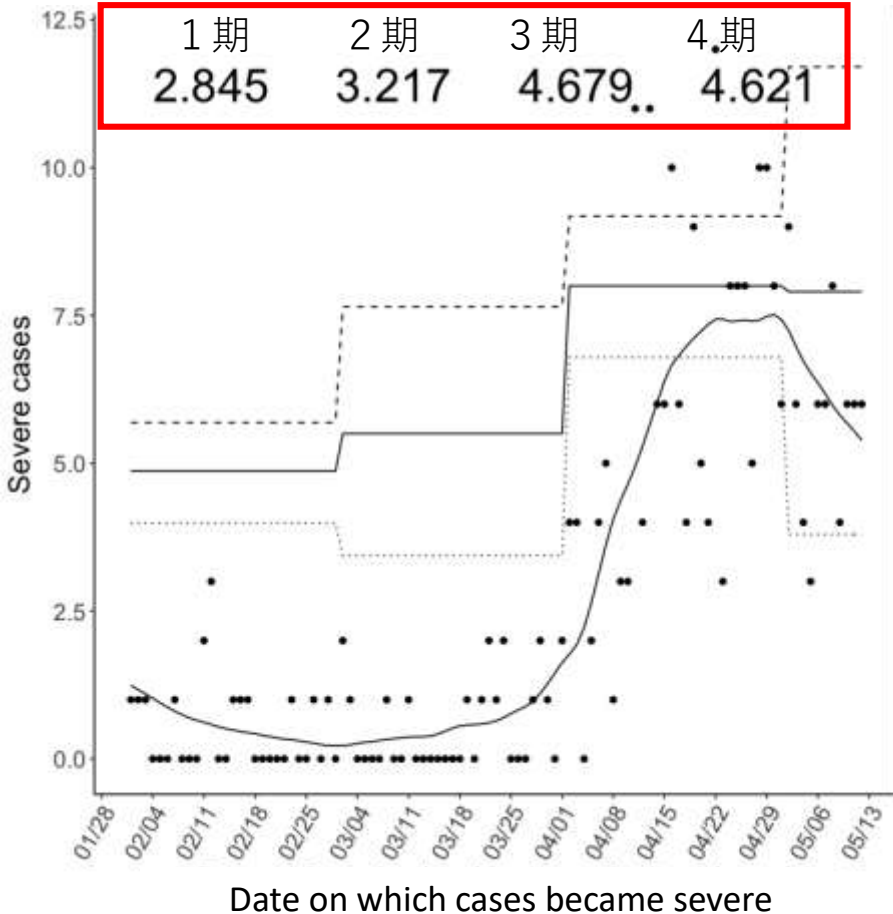
$$s(t) = \int_0^{\infty} \sum_{d=d1,d2,d3,d4} p_d i_d(t-s) f(s) ds,$$

$f(s)$ は発症から重症化までのpdf

赤点線は仮に3月水準の重症化率で4月以降も経過していた場合の期待重症者incidence

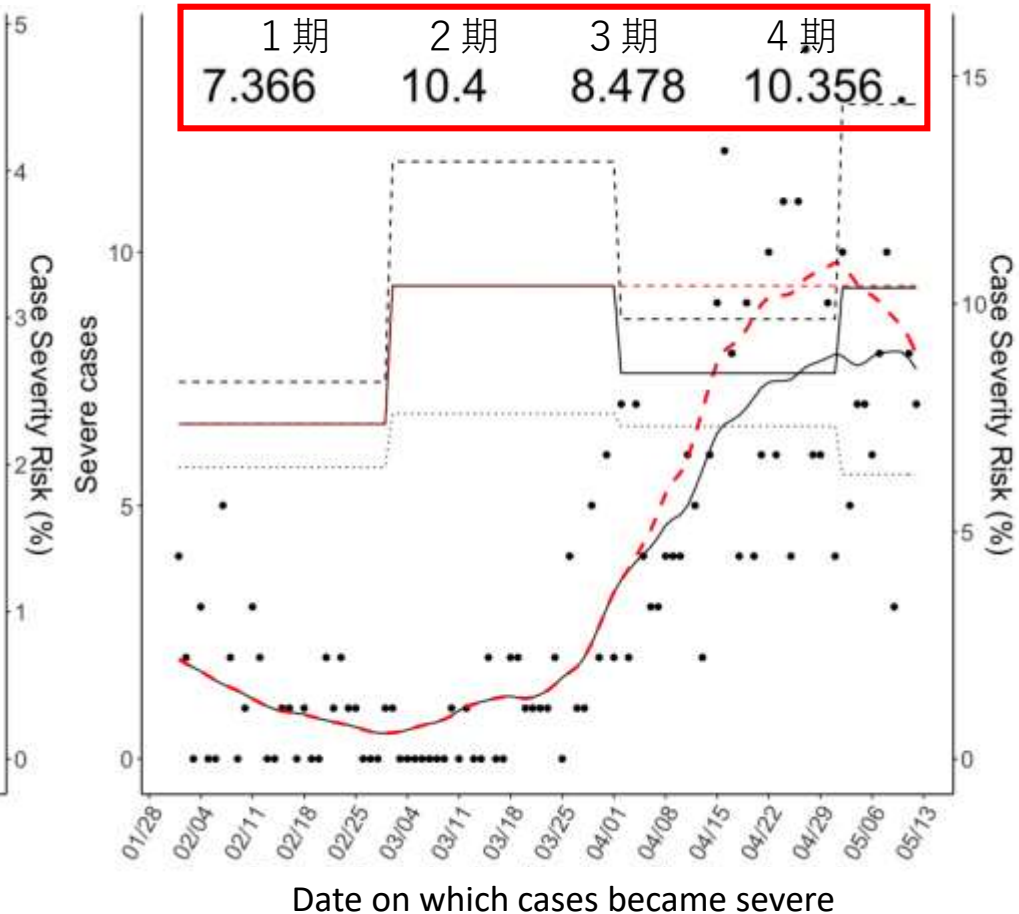
大阪重症化率 50代

1期	2期	3期	4期
2.845	3.217	4.679	4.621



大阪重症化率 60代

1期	2期	3期	4期
7.366	10.4	8.478	10.356



発症日別 (d=1, 2, and 3) :

1期 第3波 : 11/16-2/28

2期 第4波 : 3/1-3/31

3期 第4波増大 : 4/1-4/30

4期 第4波増大 : 5/1以降

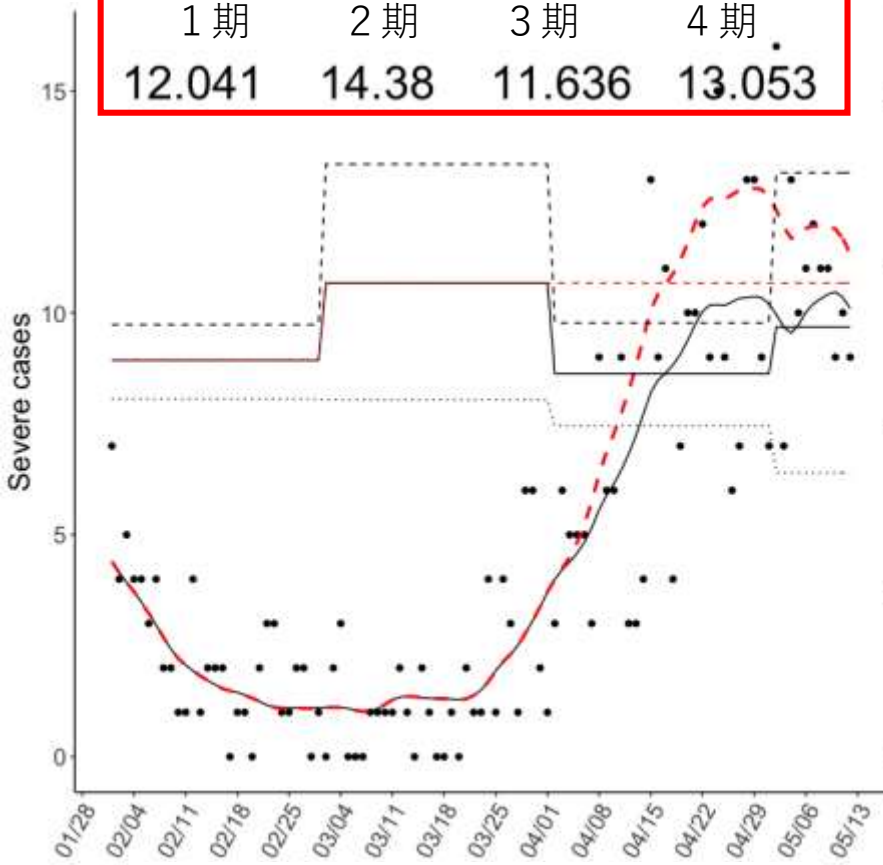
$$s(t) = \int_0^{\infty} \sum_{d=d_1, d_2, d_3, d_4} p_d i_d(t-s) f(s) ds,$$

$f(s)$ は発症から重症化までのpdf

赤点線は仮に3月水準の重症化率で4月以降も経過していた場合の期待重症者incidence

大阪重症化率 70代

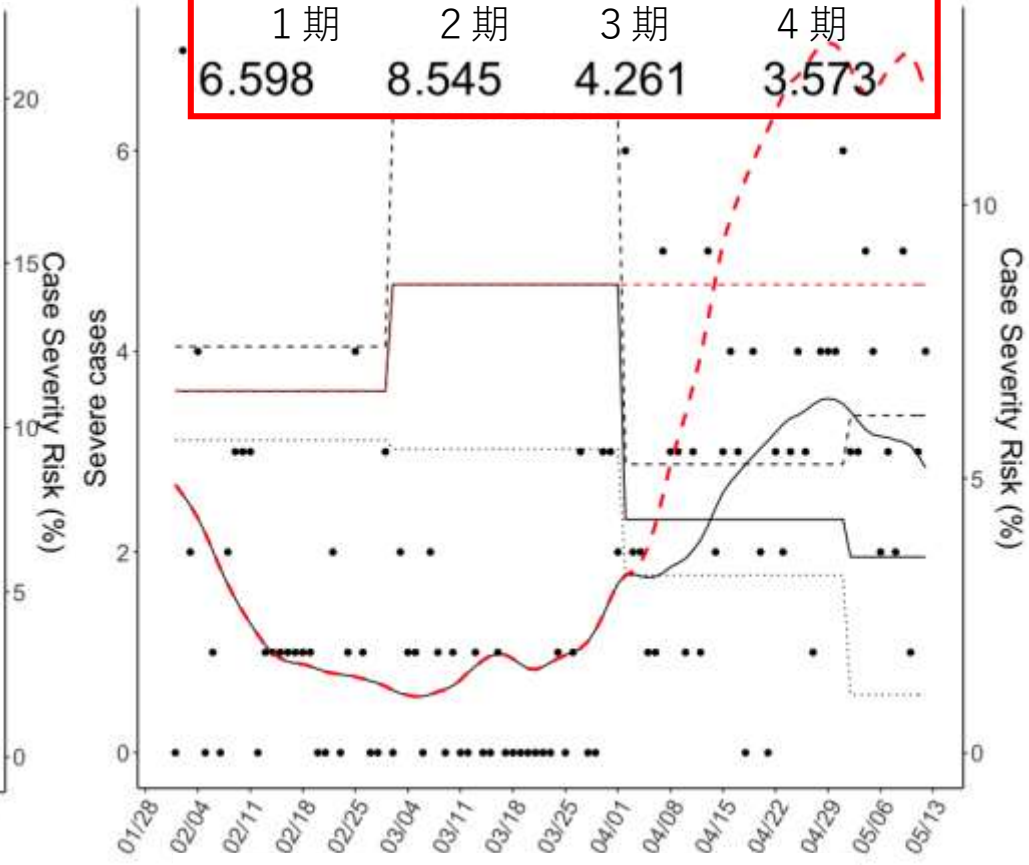
1期	2期	3期	4期
12.041	14.38	11.636	13.053



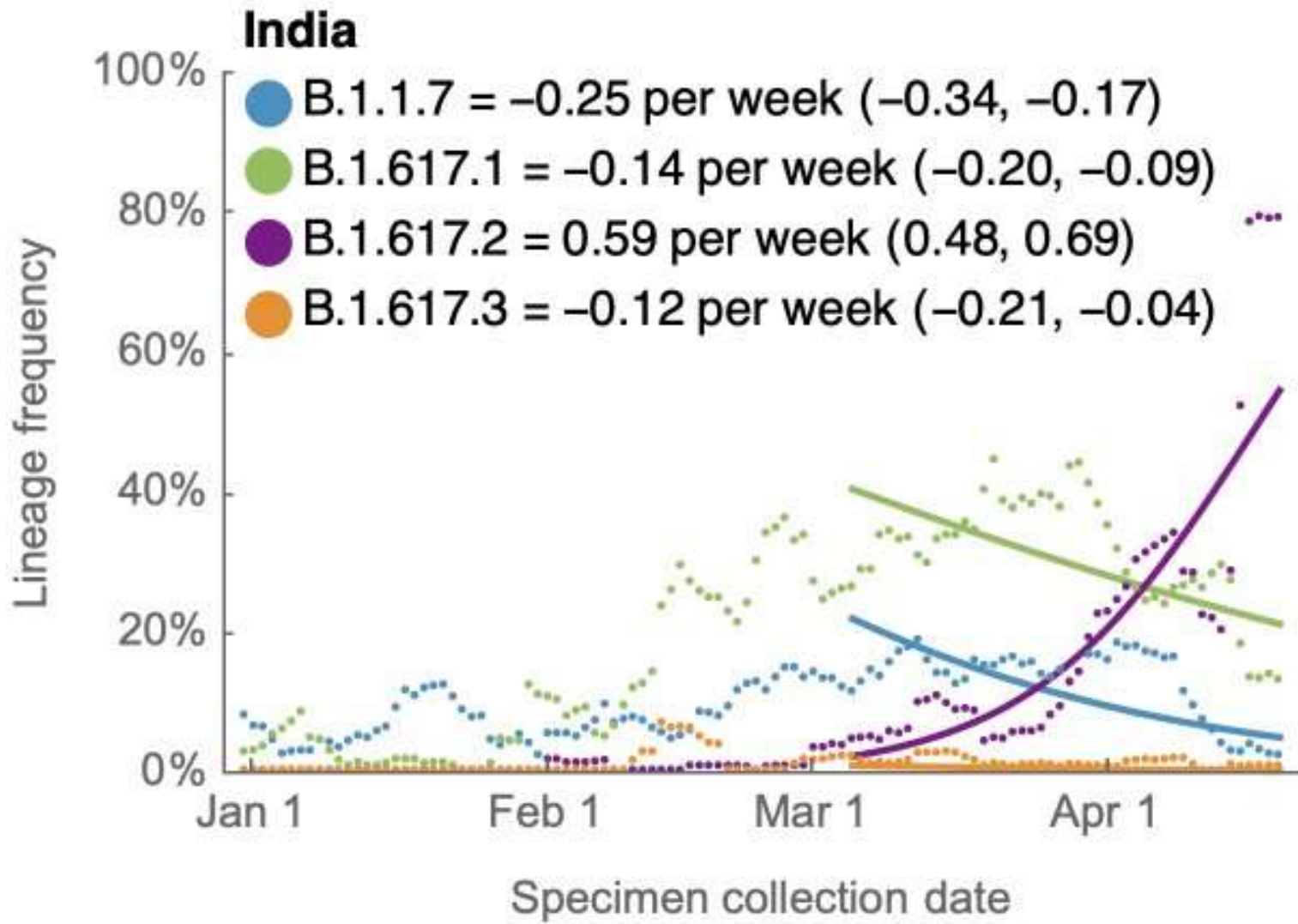
Date on which cases became severe

大阪重症化率 80代以上

1期	2期	3期	4期
6.598	8.545	4.261	3.573



Date on which cases became severe



Trevor Bedford氏 (Fred Hutchinson Cancer Research Institute) 提供

